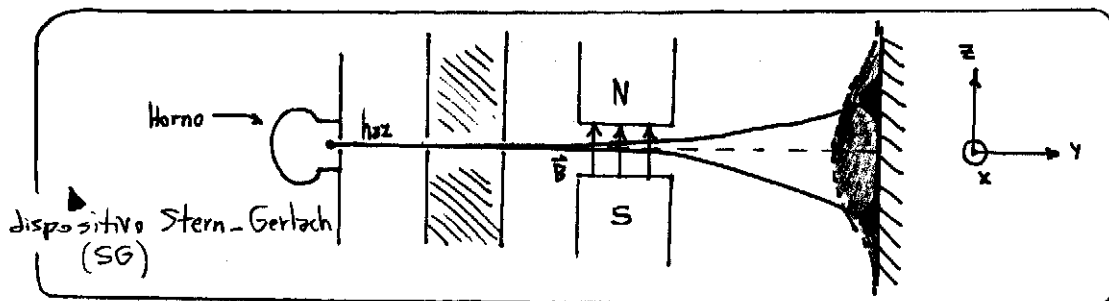


■ B. Experimento de Stern-Gerlach

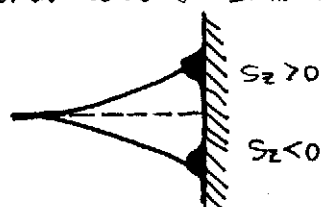
Un horno emite átomos de Ag neutros con $1e^-$ en la última órbita que le da el spin al átomo como un todo. Al salir del horno los átomos tienen su spin orientado en cualquier dirección.



$$\vec{\mu} = \frac{e}{m_e c} \vec{S}$$

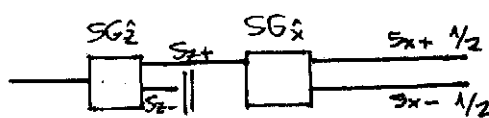
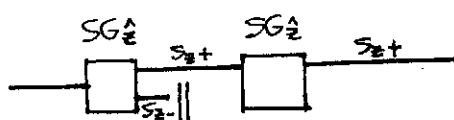
momento magnético del átomo que sale del horno

La f_z que le ejerce el campo \vec{B} a estos átomos es $f_z = \omega_c - \mu_z$. Entonces el dispositivo SG mide y filtra por $S_z(\mu_z)$. Si el spin es un ente clásico es de esperar un patrón como el sombreado en azul; pero se obtienen dos manchas; con la correspondencia

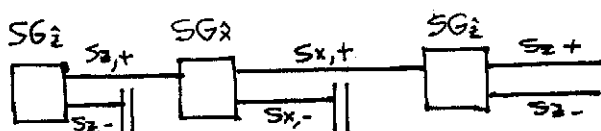


El spin no es un ente "continuo": está cuantizado y solo puede tomar dos valores. Llamaremos a estos estados $(S_z, +)$ $(S_z, -)$

Un aparato de SG entonces filtra o selecciona ciertos átomos



Con el dispositivo 2^{do} orientado en \hat{x} obtenemos mitad de átomos en $(S_x, +)$ y mitad en $(S_x, -)$. La única es que en realidad $(S_z, +)$ se compone de $(S_x, +)$, $(S_x, -)$



Solo $(S_z, -)$ pero para ello ser posible \Rightarrow $(S_x, +)$ tiene $(S_z, +)$, $(S_z, -)$. Pero esto no es posible porque al 2^{do} dispositivo no entró jamás $(S_z, -)$ SE FILTRÓ ANTES

Los spins en S_x, S_z son incompatibles. Al seleccionar $(S_x, +)$ en el 2^{do} SG se destruye la información previa sobre S_z . No podemos ya garantizar que S_z sea nula.

EL 3er experimento da al traste con la idea de que podíamos pensar en spin como un ente vectorial en 3D. Mediante una analogía con polarización de luz vemos que es necesario meter el spin en un espacio vectorial de dimensión 2, zero con coeficientes complejos.

■ KETS

El ket contiene toda la información cuántica del estado. Da el Estado físico del sistema.

- $| \alpha \rangle + | \beta \rangle = | \gamma \rangle$ (la suma de kets es un ket)
- $c| \alpha \rangle = | \alpha \rangle \cdot c$ $c \in \mathbb{C}$
- $c_1| \alpha \rangle + c_2| \beta \rangle = | \gamma \rangle$ $c_1, c_2 \in \mathbb{C}$
- $| \alpha \rangle, | \alpha \rangle$ representan el mismo estado cuántico

Se define un espacio de "Bra", dual al de "kets" al que se va mediante «dual conjugado».

$$| a \rangle, | a \rangle \xleftrightarrow[DC]{} \langle a |, \langle a |$$

$$| a \rangle + | b \rangle \leftrightarrow \langle a | + \langle b |$$

$$c| a \rangle \leftrightarrow c^* \langle a |$$

Se define el producto interno:

$$\boxed{\langle \beta | (| \alpha \rangle) \equiv \langle \beta | \alpha \rangle} \quad \text{es un número complejo}$$

BRA KET

Se puede hacer una equivalencia con vectores std. del álgebra del siguiente modo:

Ket ~ Vector Columna
Bra ~ Vector Fila

$$\begin{aligned} | X \rangle &= \begin{pmatrix} 1 \\ 0 \end{pmatrix} & | A \rangle &= \frac{1}{\sqrt{2}} \begin{pmatrix} 1 \\ 1 \end{pmatrix} = \frac{1}{\sqrt{2}} | X \rangle + \frac{1}{\sqrt{2}} | Y \rangle \\ | Y \rangle &= \begin{pmatrix} 0 \\ 1 \end{pmatrix} & \langle A | X \rangle &= \frac{1}{\sqrt{2}} \begin{pmatrix} 1 & 1 \end{pmatrix} \begin{pmatrix} 1 \\ 0 \end{pmatrix} = \frac{1}{\sqrt{2}} \\ \langle X | &= (1 \ 0) & & = \left(\frac{1}{\sqrt{2}} \langle X | + \frac{1}{\sqrt{2}} \langle Y | \right) (| X \rangle) = \frac{1}{\sqrt{2}} \end{aligned}$$

• Propiedades

- $\langle \beta | \alpha \rangle = \langle \alpha | \beta \rangle^*$ $\Rightarrow \langle \alpha | \alpha \rangle \in \mathbb{R}$
- $\langle \alpha | \alpha \rangle \geq 0$ Métrica definida positiva
- $\langle \alpha | \beta \rangle = \langle \beta | \alpha \rangle = 0 \Leftrightarrow | \alpha \rangle$ es ortogonal a $| \beta \rangle$
- $\langle \tilde{\alpha} | \tilde{\alpha} \rangle = 1$ con $|\tilde{\alpha}\rangle = \frac{1}{\sqrt{\langle \alpha | \alpha \rangle}} |\alpha\rangle$ Todo ket ($\neq 0$) es normalizable

■ OPERADORES

A cada observable lo representaremos por un operador. Hay operadores que no vienen de observables.

$$\hat{A}| \alpha \rangle = | \gamma \rangle \quad \xrightarrow{\text{un operador sobre un ket da otro ket}}$$

$$\langle \beta | \hat{A} = \langle r | \quad \xrightarrow{\text{"bra" "operador" "ket"}}$$

$$\boxed{| X^\dagger \alpha \rangle \xleftrightarrow[DC]{} \langle \alpha | X^+} \\ \text{si } X = X^+ \Rightarrow X \text{ es hermítico}$$

donde \dagger (daga) = traspose conjugado
(Cambia el sentido hacia donde actúa el operador y conjuga)

- $X \cdot Y \neq Y \cdot X$ no commutativo
- $X(YZ) = (XY)Z = XYZ$ asociativo

$$(XY)^+ = Y^+ X^+$$

$$\hat{0}|\alpha\rangle = 0 \quad \forall |\alpha\rangle; \hat{0} \text{ es operador nulo}$$

$$X(c_1|\alpha\rangle + c_2|\beta\rangle) = c_1 X|\alpha\rangle + c_2 X|\beta\rangle$$

Importante
Los observables en cuántica se representan mediante operadores hermíticos

• Sandwichs

$$\langle \rho | X | \alpha \rangle = (\underbrace{\langle \rho |}_{\text{es un ket}} \cdot (X | \alpha \rangle)) = \langle \rho | \gamma \rangle = \langle \gamma | \beta \rangle^* = (\langle \alpha | X^+ | \beta \rangle)^*$$

$$\langle \gamma | \beta \rangle \xrightarrow{DC} \langle \gamma | \Leftrightarrow \langle \gamma | = \langle \alpha | X^+$$

$$\boxed{\langle \rho | X | \alpha \rangle = (\langle \alpha | X^+ | \beta \rangle)^*}$$

$$\langle \rho | X | \alpha \rangle = (\underbrace{\langle \rho | X}_{\langle \Gamma |} \cdot |\alpha\rangle) = \langle \Gamma | \alpha \rangle = \langle \alpha | \Gamma \rangle^* = (\langle \alpha | X^+ | \beta \rangle)^*$$

$$\langle \Gamma | \Leftrightarrow \langle \Gamma | = X^+ | \beta \rangle$$

El formalismo es consistente. El operador opera sobre un ket/bra y multiplica al otro.

• Producto Externo

$$|\beta\rangle \times |\alpha\rangle \equiv (|\beta\rangle) \cdot (\langle \alpha|)$$

$$(|\beta\rangle \times |\alpha\rangle) |\gamma\rangle = |\beta\rangle \langle \alpha | \gamma \rangle = \underbrace{\langle \alpha | \gamma \rangle}_{\text{escalar}} |\beta\rangle$$

- Es un operador, pues al aplicar sobre un ket obtengo otro ket

$$\Lambda_\alpha = |\alpha\rangle \langle \alpha| \leftarrow \text{el proyector}$$

- rotó $|\gamma\rangle$ en la dirección de $|\beta\rangle$

$$\Lambda_\alpha^2 = |\alpha\rangle \underbrace{\langle \alpha | \alpha \rangle}_{=1} \times |\alpha\rangle = |\alpha\rangle \langle \alpha| = \Lambda_\alpha$$

EL proyector Λ_α sobre un ket $|\beta\rangle$ selecciona la parte de $|\beta\rangle$ en la dirección de $|\alpha\rangle$. Nos dice cuánto de $|\beta\rangle$ está en la dirección de $|\alpha\rangle$.

$$\sum_i \Lambda_i = \sum_i |\alpha_i\rangle \langle \alpha_i| \equiv \mathbb{1} \rightarrow \text{La suma de todos los proyectores del espacio en el que estamos es la identidad de ese espacio.}$$

$\{|\alpha_i\rangle\}$ es un conjunto completo

$$(|\beta\rangle \times |\alpha\rangle)^+ = |\alpha\rangle \langle \beta|$$

• Notas Varias

$$\hat{X} = \begin{pmatrix} 1 \\ 0 \end{pmatrix} \quad \hat{Y} = \begin{pmatrix} 0 \\ 1 \end{pmatrix}$$

$$X^+ X = (1 \ 0) \begin{pmatrix} 1 \\ 0 \end{pmatrix} = 1$$

$$\hat{X}^+ = (1 \ 0) \quad \hat{Y}^+ = (0 \ 1)$$

$$X X^+ = \begin{pmatrix} 1 & 0 \end{pmatrix} (1 \ 0) = \begin{pmatrix} 1 & 0 \\ 0 & 0 \end{pmatrix}$$

Notar la diferencia en la dimensión del resultado.

Los kets $|\alpha\rangle$ viven en un espacio vectorial de Hilbert con dim. N, donde N lo dicta el # de posibles estados de cada sistema físico. Una partícula de spin 1/2 solo tiene 2 estados: (up y down)

Hay otro producto más, que se llama producto tensorial y se representa como:

$|\alpha\rangle \otimes |\beta\rangle$ Es un producto entre kets de espacios de Hilbert diferentes.

$$(\langle \alpha | \beta \rangle)^* = DC\{|\beta\rangle\} \cdot DC\{\langle \alpha|\}$$

■ Bases

Dado un sistema físico representado por un espacio de dim N existirá una base (de dim. N) que será un conjunto de estados tal que cualquier estado de ese sistema físico puede representarse como CL de ese conjunto.

$$\{|\psi_i\rangle\} \text{ base} \rightarrow |\alpha\rangle = \sum_{i=1}^N c_i |\psi_i\rangle \quad \text{con } |\alpha\rangle \text{ estado cualquiera}$$

Es práctica utilizar bases orthonormales

$$\langle i|j\rangle = \delta_{ij} \begin{cases} 1 & i=j \\ 0 & i \neq j \end{cases} \quad (\text{Delta de Kronecker})$$

los kets se definen normalizados

$$|\psi\rangle = a|1\rangle + b|2\rangle + c|3\rangle + d|4\rangle \rightarrow |a|^2 + |b|^2 + |c|^2 + |d|^2 = 1$$

$$\text{Sea } |\phi\rangle = a|1\rangle + b|2\rangle, \langle \phi| = a^* \langle 1| + b^* \langle 2| \Rightarrow$$

$$\begin{aligned} \langle \phi|\phi\rangle &= (a^* \langle 1| + b^* \langle 2|)(a|1\rangle + b|2\rangle) = \\ &= a^* a \langle 1|1\rangle + b^* a \langle 2|1\rangle + a^* b \langle 1|2\rangle + b^* b \langle 2|2\rangle \\ \langle \phi|\phi\rangle &= |a|^2 + |b|^2 = 1 \end{aligned}$$

■ Autokets y Autovalores

Si $A|\alpha\rangle = c|\alpha\rangle \Rightarrow |\alpha\rangle$ es autoket de A con autovalor c

Se suelen etiquetar los autoestados $|\alpha'\rangle, |\alpha''\rangle \rightarrow$

$$A|\alpha'\rangle = a'|\alpha'\rangle$$

$$(A - a' \mathbb{I})|\alpha'\rangle = 0 \quad \leftarrow \text{el problema espectral}$$

NOTA

En general solo se sabe
Cómo opera un operador
Sobre kets. La operación
sobre bras la obtenemos
usando DC.

Entonces los operadores tendrán representación matricial, que cambiará según la base utilizada

A • Los autovectores de un operador hermítico son IR, y los autokets correspondientes a diferentes autovectores son ortogonales

B • Los autokets de un operador son base completa del espacio de kets.

$$A \bullet \quad a'|\alpha'\rangle = A|\alpha\rangle \leftrightarrow \langle \alpha'|A^\dagger = \langle \alpha'|A = \langle \alpha'|a'^*$$

$$\Rightarrow \langle \alpha'|A|\alpha'\rangle = (\langle \alpha'|)(A|\alpha'\rangle) = a' \\ (\langle \alpha'|A|\alpha'\rangle)^* = ((\langle \alpha'|)(A|\alpha'\rangle))^* = (\langle \alpha'|A^\dagger)(|\alpha'\rangle) \\ = \langle \alpha'|A|\alpha'\rangle = a' \Rightarrow a' = a'^*$$

$$A|\alpha'\rangle = a'|\alpha'\rangle \Rightarrow A(|\alpha'\rangle - |\alpha''\rangle) = 0 \\ A|\alpha''\rangle = a''|\alpha''\rangle \quad a'|\alpha'\rangle - a''|\alpha''\rangle$$

$$\langle \alpha''|A|\alpha'\rangle = a' \langle \alpha''|\alpha'\rangle$$

$$\langle \alpha'|A|\alpha''\rangle = a'' \langle \alpha'| \alpha''\rangle$$

$$\langle \alpha''|A|\alpha'\rangle^* = a'' \langle \alpha''| \alpha'\rangle^* \leftarrow$$

$$\langle \alpha''|A|\alpha'\rangle = a' \langle \alpha''| \alpha'\rangle \leftarrow$$

$$\langle \alpha''|A|\alpha'\rangle = a'' \langle \alpha''| \alpha'\rangle \leftarrow$$

welvra a (uso $a'' = a'$)

$$\text{Restamos} \quad 0 = (a' - a'') \langle \alpha''| \alpha'\rangle$$

$$\Rightarrow \langle \alpha''| \alpha'\rangle = 0 \quad \text{si } a' \neq a''$$

B. Se postula así. Si esto vale \Rightarrow

$$|\alpha\rangle = \sum_i^n |\alpha_i\rangle \langle \alpha_i| \alpha\rangle = \sum_i^n c_i |\alpha_i\rangle = \mathbb{I} |\alpha\rangle$$

$$\langle \alpha|\alpha\rangle = \sum_i^n \langle \alpha_i|c_i^* c_i |\alpha_i\rangle = \sum_i^n |c_i|^2 = 1$$

$$\mathbb{I} = \sum_i |\alpha_i\rangle \langle \alpha_i| \leftarrow$$

Si la base es completa $\Rightarrow \mathbb{I} = \sum_i \mathbb{I}_i = 1$

Operadores & Matrices

Representación matricial del operador X

$$X = \sum_{a'}^N \sum_{a''}^N |a''\rangle \underbrace{\langle a''|X|a'\rangle}_{\text{un escalar}} \langle a'| = \sum_{a'}^N \sum_{a''}^N \langle a''|X|a'\rangle |a''\rangle \langle a'|$$

elemento de matriz $\rightarrow [X_{ij}] = \langle a_i | X | a_j \rangle$

Sea base $\rightarrow X = \begin{pmatrix} X_{11} & X_{12} & X_{13} \\ X_{21} & X_{22} & X_{23} \\ X_{31} & X_{32} & X_{33} \end{pmatrix}$

Notar que
 $|a''\rangle \langle a'| \in N \times N$

X es hermítico \Rightarrow su matriz es simétrica conjugada

$$\langle a_i | X | a_j \rangle^* = \langle a_j | X^+ | a_i \rangle = \langle a_j | X | a_i \rangle \Rightarrow \langle a_j | X | a_i \rangle^* = \langle a_i | X | a_j \rangle$$

La matriz tiene traza real y seis elementos independientes:

$$X = \begin{pmatrix} X_{11} & X_{12} & X_{13} \\ X_{21}^* & X_{22} & X_{23} \\ X_{31}^* & X_{32}^* & X_{33} \end{pmatrix} = \begin{pmatrix} X_{11} & X_{12} & X_{13} \\ X_{21} & X_{22} & X_{23} \\ X_{31} & X_{32} & X_{33} \end{pmatrix} = \begin{pmatrix} X_{11}^* & X_{21}^* & X_{31}^* \\ X_{12}^* & X_{22}^* & X_{32}^* \\ X_{13}^* & X_{23}^* & X_{33}^* \end{pmatrix}$$

$$X_{ji}^* = X_{ij}$$

$$X_{ij}^{t*} = X_{ij}$$

$$X_{ij}^+ = X_{ij}$$

Aquí se ve bien el significado de daguar

• CL de autoestados

Un estado $|\alpha\rangle$ se puede escribir en función de la base $\{|a_i\rangle\}$, de esta forma:

$$|\alpha\rangle = \sum_{i=1}^N |a_i\rangle \langle a_i| \alpha \rangle = \sum_{i=1}^N \underbrace{\langle a_i | \alpha \rangle}_{c_i} |a_i\rangle \rightarrow \langle a_j | \alpha \rangle = \sum_{i=1}^N c_i \underbrace{\langle a_j | a_i \rangle}_{\delta_{ji}}$$

$$\langle a_j | \alpha \rangle = c_j$$

• cambio de base

$$X |b_j\rangle = \sum_{i=1}^N |a_i\rangle \langle a_i| X |b_j\rangle = \sum_{i=1}^N c_{ij} |a_i\rangle$$

Matriz de cambio de base

Para cambiar de base metemos $\mathbb{1}$ escritas como \sum de proyectores

$$|b_j\rangle = \sum_{i=1}^N |a_i\rangle \langle a_i| b_j \rangle = \sum_{i=1}^N \underbrace{\langle a_i | b_j \rangle}_{c_{ij}} |a_i\rangle$$

son los elementos de la matriz que cambia de base

• Representación diagonal

Un operador tiene representación diagonal cuando está representado en la base de sus autoestados

$$A = \sum_i^N \sum_j^N |a_i\rangle \langle a_i| A |a_j\rangle \langle a_j| = \sum_i^N \sum_j^N a_j |a_i\rangle \langle a_i| a_j \rangle \langle a_j| = \sum_{i,j} \delta_{ij} a_j |a_i\rangle \langle a_j|$$

$$A = \sum_i^N a_i \mathbb{1} \rightarrow$$

$$A = \begin{pmatrix} a_1 & 0 & \dots & 0 \\ 0 & a_2 & \dots & 0 \\ 0 & 0 & \ddots & \vdots \\ \vdots & & & a_N \end{pmatrix}$$

a_1, a_2, \dots, a_N son sus autovalores

Matriz de $N \times N$

Es conveniente utilizar como bases los autoestados de ciertos operadores.

• Representaciones canónicas

Podemos representar una base como vectores canónicos

$$|a_1\rangle = \begin{pmatrix} 1 \\ 0 \\ \vdots \\ N \end{pmatrix} \quad |a_2\rangle = \begin{pmatrix} 0 \\ 1 \\ \vdots \\ N \end{pmatrix} \quad |a_n\rangle = \begin{pmatrix} 0 \\ 0 \\ \vdots \\ 1 \end{pmatrix}$$

Luego:

$$|\alpha\rangle = \sum_i |a_i\rangle \langle a_i| \alpha \rangle = \langle a_1 | \alpha \rangle \begin{pmatrix} 1 \\ 0 \\ \vdots \\ N \end{pmatrix} + \langle a_2 | \alpha \rangle \begin{pmatrix} 0 \\ 1 \\ \vdots \\ N \end{pmatrix} + \dots + \langle a_n | \alpha \rangle \begin{pmatrix} 0 \\ 0 \\ \vdots \\ 1 \end{pmatrix} = \begin{pmatrix} \langle a_1 | \alpha \rangle \\ \langle a_2 | \alpha \rangle \\ \vdots \\ \langle a_n | \alpha \rangle \end{pmatrix} \quad \square \quad DC$$

$$\langle \alpha | \alpha \rangle = 1 = \left(\begin{array}{c|c} & 1 \times N \\ \hline 1 & \left(\begin{array}{c} \\ \\ \vdots \\ \end{array} \right) \end{array} \right) \left(\begin{array}{c} N \times 1 \\ \hline \end{array} \right) = \square \quad \text{un escalar}$$

$$\langle \alpha | = (\langle \alpha | a_1 \rangle \langle \alpha | a_2 \rangle \dots \langle \alpha | a_N \rangle)$$

$$\langle \rho | \alpha \rangle = (\langle \rho | a_i \rangle) \begin{pmatrix} N \times N & N \times 1 \\ \end{pmatrix} = \sum_i^N \langle \rho | a_i \rangle \overline{\langle a_i | \alpha \rangle} = \square \text{ un escalar}$$

$$\langle a_i | \gamma \rangle = \langle a_i | X | \alpha \rangle = \sum_{a_j} \langle a_i | X | a_j \rangle \langle a_j | \alpha \rangle$$

$$\begin{pmatrix} \langle a_i | \gamma \rangle \\ \vdots \end{pmatrix} = \begin{pmatrix} N \times 1 & N \times N & N \times 1 \\ \langle a_i | a_j \rangle & \cdots & \langle a_i | \alpha \rangle \\ \vdots & \ddots & \vdots \end{pmatrix} \begin{pmatrix} \alpha \\ \vdots \end{pmatrix}$$

$$X \doteq \sum_i^N \sum_j^N |a_i\rangle \langle a_i| X |a_j\rangle \langle a_j| \doteq \sum_i^N \sum_j^N (\langle a_i | X | a_j \rangle) \underbrace{|a_i\rangle \langle a_j|}_{\text{es una matriz}}$$

Aquí el \hat{X} es una matriz y $\langle a_i | \hat{X} | a_j \rangle = x_{ij}$ son sus elementitos (escalares)

Sistemas de spin 1/2

Hay dos estados posibles de spin $(|+\rangle, |-\rangle) \Rightarrow \dim \text{ev} = 2$

$$|S_z, +\rangle = |S_z = \hbar/2\rangle \equiv |+\rangle$$

$$|S_z, -\rangle = |S_z = -\hbar/2\rangle \equiv |-\rangle$$

$$\mathbb{1} = |+\rangle\langle +| + |-\rangle\langle -|$$

operadores
subida &
bajada

$$\begin{cases} S_+ = \hbar |+\rangle\langle -| \rightarrow S_+ = \hbar \begin{pmatrix} 1 & 0 \\ 0 & 0 \end{pmatrix} = \hbar \begin{pmatrix} 0 & 1 \\ 0 & 0 \end{pmatrix} & \text{Sube el spin o da el ket nulo} \\ S_- = \hbar |-\rangle\langle +| \rightarrow S_- = \hbar \begin{pmatrix} 0 & 1 \\ 1 & 0 \end{pmatrix} = \hbar \begin{pmatrix} 0 & 0 \\ 1 & 0 \end{pmatrix} & \text{baja el spin o da el ket nulo} \end{cases}$$

Cambio de base

Dados dos conjuntos base orthonormales y completos $\exists \hat{U}$ unitario :

$$\hat{U}\hat{U}^\dagger = \hat{U}U^\dagger = \mathbb{1}$$

$$|b_i\rangle = U|a_i\rangle$$

Este operador de cambio de base será:

$$U = \sum_k |b_k\rangle \langle a_k|$$

$$U|a_i\rangle = \sum_k |b_k\rangle \langle a_k|a_i\rangle = |b_i\rangle$$

paso de	$ a_i\rangle$	\rightarrow	$ b_i\rangle$
vieja			nueva
base			base

$$\langle b_k | \alpha \rangle = \sum_i \langle b_k | a_i \rangle \langle a_i | \alpha \rangle = \sum_l \langle a_k | U^\dagger | a_l \rangle \langle a_l | \alpha \rangle = \langle a_k | U^\dagger | \alpha \rangle$$

$$\Rightarrow |_{\text{nueva base}}^{\text{vieja}} \rangle = U |_{\text{vieja base}}^{\text{nueva}} \rangle$$

$$\langle b_i | X | b_j \rangle = \sum_{l,m} \langle b_i | a_l \rangle \langle a_l | X | a_m \rangle \langle a_m | b_j \rangle$$

$$\langle b_i | X | b_j \rangle = \sum_{l,m} \langle a_i | U^\dagger | a_l \rangle \langle a_l | X | a_m \rangle \langle a_m | U | a_j \rangle \Rightarrow$$

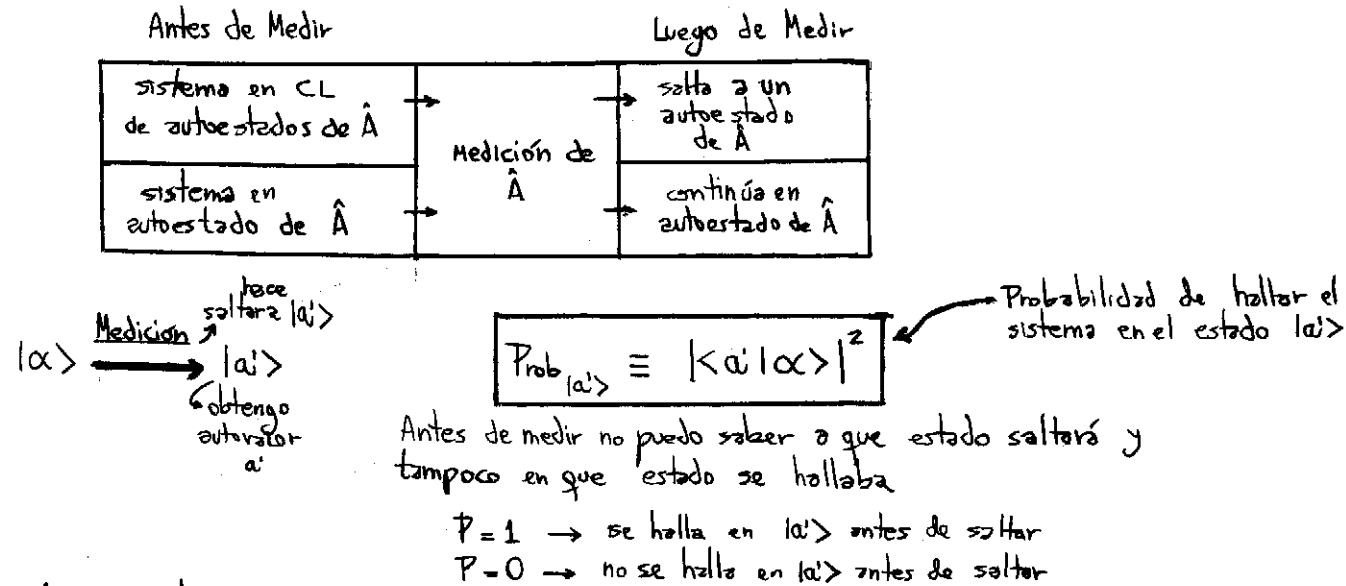
$$X_{bb} = U^\dagger X_{aa} U$$

Transformación
de
similaridad

■ Mediciones y Probabilidades

En mecánica cuántica MEDIR es fijar. La medición perturba al sistema. Se miden variables dinámicas asociadas a observables.

Como los autoestados de un observable \hat{A} son una base completa $\{|a_i\rangle\}$ \Rightarrow un sistema se hallará en una CL de autoestados de \hat{A} (puede pensarse esto).



• Valor de expectación

$$\langle \hat{A} \rangle \equiv \langle \alpha | A | \alpha \rangle$$

$$(\Delta A)_{\alpha}^2 = \langle A^2 \rangle_{\alpha} - \langle A \rangle^2$$

El valor de expectación siempre se refiere a un estado en particular.

$$\langle A \rangle = \sum_{a', a''} \langle \alpha | a' \rangle \langle a' | A | a'' \rangle \langle a'' | \alpha \rangle = \sum_{a', a''} \langle \alpha | a' \rangle a'' \delta_{a'a''} \langle a'' | \alpha \rangle = \sum_{a''} a'' |\langle \alpha | a'' \rangle|^2$$

$$\langle A \rangle = \sum_{a''} a'' \cdot \text{Prob}_{|a''\rangle}$$

Este último tiene el sentido de una especie de promedio ponderado.

■ Commutadores

$$[A, B] \equiv A \cdot B - B \cdot A \quad \leftarrow \text{comutador}$$

$$\{A, B\} \equiv A \cdot B + B \cdot A \quad \leftarrow \text{anticomutador}$$

Dos observables A, B commutan si $[A, B] = 0$. Se dice que son:

compatibles $\rightarrow [A, B] = 0$

incompatibles $\rightarrow [A, B] \neq 0$

• Teorema

Sean A, B observables compatibles y no degenerados \Rightarrow los autoestados $\{|a'\rangle\}$ de A lo son también de B . Es decir que A, B tienen base de autoestados común

• demo

$$\langle a' | A \cdot B - B \cdot A | a'' \rangle = 0$$

$$a' \langle a' | B | a'' \rangle - \langle a' | B | a'' \rangle a'' = 0$$

$$(a' - a'') \cdot \langle a' | B | a'' \rangle = 0 \quad \rightarrow \quad \langle a' | B | a'' \rangle = 0 \quad \rightarrow \quad B \text{ es diagonal en } \{|a'\rangle\}$$

Los autoestados son iguales pero no los autovalores, con lo cual se utilizará la notación

$$|a', b\rangle \quad \text{donde} \quad \begin{cases} A |a', b\rangle = a' |a', b\rangle \\ B |a', b\rangle = b' |a', b\rangle \end{cases}$$

■ Degeneración

Puede darse que haya varios ^(g) autoestados correspondientes a un mismo autovector (a') ; entonces se dice que hay degeneración de orden g para el autoestado $|a'\rangle$

$$A |a'_i\rangle = a' |a'_i\rangle \quad ; i = 1, \dots, g$$

A tendrá una matriz de $n \times n$ por bloques

En este caso No se puede decir que la base de A diagonalice a B. Los $|a'_i\rangle$ no dan información sobre los bloques correspondientes en la matriz de B.

$$A = \begin{pmatrix} & 0 & & \\ \hline 0 & a'' & 0 & \\ & a''' & a'' & 0 \\ 0 & & a'' & \ddots \\ & 0 & & \end{pmatrix}$$

Necesito un conjunto de operadores que haga romper la degeneración para expresar únicamente el estado del sistema. Se llama CCOC.

Necesito que commuten entre sí para que las mediciones tengan sentido.^f

Los autovectores de algunos operadores podrán tener degeneración pero una combinación de los autovectores del CCOC, $|a'b'c'... \rangle$, determina el estado en forma única.

Dado un set CCOC, $\{A, B, C, D\}$, se etiquetarán $|K'\rangle \equiv |a'b'c'd'\rangle$ los autoestados.

Las únicas cosas que tiene sentido medir en MC son las variables asociadas a operadores en un CCOC.

A, B compatibles. Sin degeneración:

$$|a\rangle \xrightarrow[\text{a'}]{\text{Mido A}} |a'b'\rangle \xrightarrow[\text{b'}]{\text{Mido B}} |a'b'\rangle \xrightarrow[\text{a'}]{\text{Mido A}} |a'b'\rangle$$

Con degeneración en el autovector a' :

$$|a\rangle \xrightarrow[\text{a'}]{\text{Mido A}} \sum_{i=1}^g c_{a'}^{(i)} |a'b'^{(i)}\rangle \xrightarrow[\text{b'}^{(i)}]{\text{Mido B}} c_{a'}^{(i)} |a'b'^{(i)}\rangle \xrightarrow[\text{a'}^{(i)}]{\text{Mido A}} c_{a'}^{(i)} |a'b'^{(i)}\rangle$$

Al medir A y obtener a' no tengo determinado el estado del sistema. Me hallaré en una CL de autoestados correspondientes al autovector degenerado a' .

Al medir B luego, selecciono uno de los $|a'b'\rangle$ degenerados, el correspondiente a $b'^{(i)}$ pues B no está degenerado. Puedo volver a medir A pues el autoestado en que ha caído el sistema permanece incolgado.

^f Si no commután \rightarrow son incompatibles \rightarrow la medición de uno hace saltar al sistema a un autoestado del otro y como no son comunes pierde sentido el concepto de medir. No tiene sentido la medición de algo si por el hecho de medir cambiamos lo que queremos medir. Al ser incompatibles sus medi-

das se afectan mutuamente.

■ Postulados de la Mecánica Cuántica

- ① — EL estado de un sistema lo definimos con un ket $|\alpha\rangle \in \mathcal{H}$. $\langle\alpha|\alpha\rangle = 1$
 - ② — Asociamos a propiedades físicas (observables) operadores hermitianos \hat{A} que operan sobre los kets. Los autokets $|\alpha\rangle$ verifican:
- $\hat{A}|\alpha\rangle = \alpha|\alpha\rangle$, y $\{|\alpha\rangle\}$ es una base del espacio de kets
- ③ — AL medir una cantidad física representada por el observable \hat{A} obtenemos un autorvalor a' . Luego de medir, el estado del sistema es $|\alpha'\rangle$.

$$|\psi\rangle \xrightarrow[\alpha']{\text{Mido } A} |\psi'\rangle = \begin{bmatrix} \hat{A}_{\alpha'} \\ |\alpha\rangle \langle \alpha| \end{bmatrix} |\psi\rangle = (\alpha' |\psi\rangle) |\alpha\rangle \quad [1]$$

Hecho al sistema a un autoestado de \hat{A} . Quizás deba ahora normalizar. $\langle\psi|\psi\rangle = 1$
 El esquema [1] representa la frase "proyectar sobre la base de autoestados".

- ⑤ — Las transformaciones espaciales se generan por \vec{P}

$$[x_i, p_j] = i\hbar \delta_{ij}$$

- ⑥ — La evolución temporal la realiza H (el hamiltoniano)

● Dispersion (operador de)

$$\Delta \hat{A} = \hat{A} - \langle A \rangle \mathbb{1}$$

La dispersión será nula en un autoestado del operador \hat{A} . Luego la dispersión cuantitativamente nos dice qué tan lejos del autoestado nos hallamos.

$$\langle(\Delta A)^2\rangle = \langle(\hat{A} - \langle A \rangle \mathbb{1})^2\rangle = \langle A^2 - 2A\langle A \rangle + \langle A \rangle^2 \rangle = \langle A^2 \rangle - 2\langle A \rangle^2 + \langle A \rangle^2$$

$$\langle(\Delta A)^2\rangle = \langle A^2 \rangle - \langle A \rangle^2$$

$$\boxed{\langle(\Delta A)^2\rangle \langle(\Delta B)^2\rangle \geq \frac{1}{4} |\langle [A, B] \rangle|^2}$$

Relación de dispersión generalizada

■ Espectro Continuo

Hay observables con espectro de autovalores continuo.

$$A|a'\rangle = a'|a'\rangle$$

$$\mathbb{I} = \sum_{a''}^N |a''\rangle \langle a''|$$

$$\text{Delta de Kronecker} \quad \langle a' | a'' \rangle = \delta_{a'a''}$$

$$\sum_{a''}^N \langle a' | a'' \rangle \times a''| = \langle a' |$$

$$\sum_{a''}^N |a'\rangle \langle a' | \alpha \rangle = |\alpha\rangle$$

$$\sum_{a'}^N |\langle a' | \alpha \rangle|^2 = 1$$

$$\langle \beta | \alpha \rangle = \sum_{a'}^N \langle \beta | a' \rangle \times a' | \alpha \rangle$$

Espectro Discreto

$$Y|y\rangle = y|y\rangle$$

$$\int_{-\infty}^{+\infty} dy' |y'\rangle \langle y'| = \mathbb{I}$$

$$\langle y' | y'' \rangle = \delta(y'-y'') \quad \text{Delta de Dirac}$$

$$\int_{-\infty}^{+\infty} dy'' \langle y' | y'' \rangle \langle y' | = \langle y' |$$

$$\int_{-\infty}^{+\infty} dy' |y'\rangle \langle y' | \alpha \rangle = |\alpha\rangle$$

$$\int_{-\infty}^{+\infty} dy' |\langle y' | \alpha \rangle|^2 = 1$$

$$\langle \beta | \alpha \rangle = \int_{-\infty}^{+\infty} dy' \langle \beta | y' \rangle \langle y' | \alpha \rangle$$

Espectro Continuo

■ La Función de Onda

$$|\alpha\rangle = \int_{-\infty}^{+\infty} dx' |x'\rangle \langle x' | \alpha \rangle \quad \text{, donde}$$

$\langle x' | \alpha \rangle . dx'$ = densidad de probabilidad

$|x' | \alpha \rangle|^2$ = amplitud de probabilidad

La densidad de probabilidad, en el formalismo de Schrödinger, es la función de onda

$$\psi_\alpha(x) = \langle x | \alpha \rangle$$

Este es el vínculo entre la representación de Dirac y la de funciones de onda

$$\langle \beta | \alpha \rangle = \int dx' \langle \beta | x' \rangle \langle x' | \alpha \rangle = \int dx' \psi_\beta^*(x') \psi_\alpha(x)$$

$$\langle \beta | A | \alpha \rangle = \iint dx'' dx' \langle \beta | x'' \rangle \langle x'' | A | x' \rangle \langle x' | \alpha \rangle$$

$$= \iint dx'' dx' \psi_\beta^*(x'') \langle x'' | A | x' \rangle \psi_\alpha(x') ; \text{ si } A = f(x) \rightarrow f(x) |x'\rangle = f(x') |x'\rangle$$

$$= \iint dx'' dx' \psi_\beta^*(x'') f(x') \delta(x'' - x') \psi_\alpha(x')$$

$$\langle \beta | f(x) | \alpha \rangle = \int dx' \psi_\beta^*(x') f(x') \psi_\alpha(x')$$

En forma análoga tenemos la representación de momento:

$$\hat{p}|p'\rangle = p'|p'\rangle \quad \langle p' | p'' \rangle = \delta(p' - p'') \quad |\alpha\rangle = \int dp' |p'\rangle \langle p' | \alpha \rangle$$

$$\phi_{\alpha}(p) = \langle p' | \alpha \rangle$$

■ Operador Traslación

Se le pedirá:

$$T(dx') |x'\rangle = |x'+dx'\rangle$$

con las propiedades

Este requerimiento es intuitivamente adecuado para una traslación.

$\frac{dx'}{dx}$ No es un operador, es el parámetro de la traslación

• Unitariedad

$$T^* T = T T^* = \mathbb{1}$$

• Aditividad

$$T_{(dx')} \cdot T_{(dx'')} = T_{(dx'+dx'')}$$

• \exists Inverso

$$T^{-1}_{(dx')} = T_{(-dx')}$$

• Tender a $\mathbb{1}$

$$\lim_{dx' \rightarrow 0} T_{(dx')} = \mathbb{1}$$

Para que no varíe la prob. ante un cambio de coordenadas.

Porque vale en Mec. Clásica

Se propone un $T_{(dx)} = \mathbb{1} - i \vec{K} \cdot d\vec{x}'$, con \vec{K} hermítico (Notemos que T no es hermítico)

Comparando con clásico vemos que \vec{p} origina las traslaciones $\Rightarrow K$ se identifica con P

Pedimos que \vec{P} cuántico origine las traslaciones

$$\vec{K} = \frac{\vec{P}}{\hbar}$$

$$T_{(dx)} = \mathbb{1} - i \frac{\vec{P} \cdot d\vec{x}'}{\hbar}$$

$T_{(dx)} |p\rangle = \left(\mathbb{1} - i \frac{\vec{P} \cdot dx}{\hbar} \right) |p'\rangle = \left(1 - \frac{i \vec{P} \cdot dx}{\hbar} \right) |p'\rangle$; el autovector no es real (T no es hermítico)

Partiendo del commutador:

$$x \cdot T_{(dx)} - T_{(dx)} \cdot x = dx \cdot T_{(dx)}$$

$$[x, T_{(dx)}] = dx \cdot T$$

con $dx \sim 0$ [a orden 1][†]

$$[X_i, P_j] = i\hbar \delta_{ij}$$

generalizando

se llega a la incompatibilidad de posición y momento

$$[T_{(dx')}, T_{(dx'')}] = 0$$

Las traslaciones en direcciones diferentes commutan

$$[P_i, P_j] = 0$$

Sumando n traslaciones infinitesimales tenemos una traslación finita

$$\frac{dx' dx'' \dots dx^n}{dx}$$

$$T_{(dx)} = \lim_{N \rightarrow \infty} \left(1 - i \frac{\vec{P} \cdot \Delta x'}{\hbar} \right)^N = e^{-i \frac{\vec{P} \cdot \Delta x'}{\hbar}}$$

$$T_{(dx)} = e^{-i \frac{\vec{P} \cdot \Delta \vec{x}}{\hbar}}$$

[†] Esto significa que tiramos los términos cuadráticos en (dx)

■ \vec{P} en la representación \vec{x}

$$T_{(\Delta x)} |\alpha\rangle = \int dx' T |x'\rangle \langle x'|\alpha\rangle = \int dx' |x'+\Delta x\rangle \langle x'|\alpha\rangle = \int dx' |x'\rangle \langle x'-\Delta x|\alpha\rangle$$

Pero $\frac{\partial}{\partial x'} \langle x'|\alpha\rangle \approx \frac{-\langle x'-\Delta x|\alpha\rangle + \langle x'|\alpha\rangle}{\Delta x} \Rightarrow -\frac{\partial}{\partial x'} \langle x'|\alpha\rangle \cdot \Delta x + \langle x'|\alpha\rangle = \langle x'-\Delta x|\alpha\rangle$
Primer orden en Δx

$$T |\alpha\rangle = \int dx' |x'\rangle \left(\langle x'|\alpha\rangle - \frac{\partial}{\partial x'} \langle x'|\alpha\rangle \Delta x \right) = \int dx' |x'\rangle \langle x'|\alpha\rangle - \int dx' |x'\rangle \frac{\partial}{\partial x'} \langle x'|\alpha\rangle \Delta x$$

$$\left(1 - \frac{i\hbar \Delta x}{\hbar} \right) |\alpha\rangle = |\alpha\rangle - \int dx' |x'\rangle \frac{\partial}{\partial x'} \langle x'|\alpha\rangle \Delta x$$

$$-\frac{i}{\hbar} p \Delta x |\alpha\rangle = \left(- \int dx' |x'\rangle \frac{\partial}{\partial x'} \langle x'|\alpha\rangle \right) \Delta x \Rightarrow$$

$$p |\alpha\rangle = -i\hbar \int dx' |x'\rangle \frac{\partial}{\partial x'} \langle x'|\alpha\rangle$$

$$\langle p|p|\alpha\rangle = \int dx' \langle p|x'\rangle - i\hbar \frac{\partial}{\partial x} \langle x'|\alpha\rangle$$

$$\langle x''|p|\alpha\rangle = -i\hbar \int dx' \langle x''|x'\rangle \frac{\partial}{\partial x'} \langle x'|\alpha\rangle$$

$$\langle p|p|\alpha\rangle = \int dx' \Psi_p^*(x') - i\hbar \frac{\partial}{\partial x} (\Psi_\alpha(x'))$$

$$\langle x''|p|\alpha\rangle = -i\hbar \frac{\partial}{\partial x} \langle x''|\alpha\rangle$$

■ Cambio entre Representación \vec{x} y \vec{p}

$$\langle x'| \hat{p}' | p' \rangle = -i\hbar \int dx' \langle x'| x' \rangle \frac{\partial}{\partial x'} \langle x' | p' \rangle = -i\hbar \frac{\partial}{\partial x'} \langle x' | p' \rangle$$

$$p' \langle x' | p' \rangle = -i\hbar \frac{\partial}{\partial x} \langle x' | p' \rangle \rightarrow \int \frac{1}{\langle x' | p' \rangle} \partial \langle x' | p' \rangle = \int \frac{ip'}{\hbar} \partial x'$$

↑ Resulta una ec. dif. para $\langle x' | p' \rangle$

$$\ln \langle x' | p' \rangle = \frac{ip' x'}{\hbar} + \text{Constante}$$

$$\langle x' | p' \rangle = N e^{ip' x' / \hbar}$$

$$\int dp' \langle x' | p' \rangle \times p' | x'' \rangle = \langle x' | x'' \rangle = \delta(x' - x'')$$

$$\int dp' e^{ip' (x' - x'')} |N|^2 = \delta(x' - x'')$$

$$\delta(x' - x'') \cdot 2\pi\hbar |N|^2 = \delta(x' - x'') \Rightarrow |N| = \frac{1}{\sqrt{2\pi\hbar}}$$

$$\langle x' | p' \rangle = \frac{1}{\sqrt{2\pi\hbar}} e^{\frac{ip' x'}{\hbar}}$$

■ Con este escalar podemos cambiar entre representaciones.

$$\int_{-\infty}^{+\infty} dp' e^{ipa(x-x')} = \frac{2\pi}{a} \delta(x-x')$$

Usando esto podemos ver que:

$\Psi_\alpha(x')$, $\phi_\alpha(p')$ son transformadas de Fourier la una de la otra.

■ Corchetes Poisson vs Commutadores

Hay una equivalencia entre corchetes de Poisson y commutadores; o saber:

$$[A, B]_{\text{classic}} \longrightarrow [A, B]_{\text{it}}$$

$$[A, B]_{\text{classic}} = \sum_i \left(\frac{\partial A}{\partial q_i} \frac{\partial B}{\partial p_i} - \frac{\partial A}{\partial p_i} \frac{\partial B}{\partial q_i} \right)$$

■ DINÁMICA CUÁNTICA

Queremos ver la evolución temporal de los kets

$$|\alpha, t_0, t\rangle \xleftarrow{\text{Estado } |\alpha\rangle, \text{ que partió en } t_0, \text{ en el tiempo } t} \\ |\alpha, t_0\rangle \xrightarrow{\text{evolución}} |\alpha, t_0, t\rangle$$

Emplearemos un operador $U(t, t_0)$ (evolución temporal)

Le pediremos:

$$|\alpha, t_0, t\rangle = U |\alpha, t_0\rangle$$

con las propiedades

• unitariedad

$$\langle \alpha, t_0, t | \alpha, t_0, t \rangle = 1 \quad \forall t$$

Para conservación de la probabilidad

$$\langle \alpha, t_0 | U^\dagger U | \alpha, t_0 \rangle = 1 \quad \Rightarrow \quad U^\dagger U = U U^\dagger = \mathbb{1}$$

• Linealidad

$$U(t_2, t_0) = U(t_2, t_1) \cdot U(t_1, t_0) \quad t_2 > t_1 > t_0$$

• Tendrás $\mathbb{1}$

$$\lim_{t \rightarrow t_0} U(t, t_0) \rightarrow \mathbb{1} \quad , \text{ o bien } \lim_{dt \rightarrow 0} U(t_0 + dt, t_0) \rightarrow \mathbb{1}$$

Se propone un $U(t+dt, t) = \mathbb{1} - i \Omega dt$, con Ω hermítico

Comparando con clásica vemos que H origina la evolución temporal $\Rightarrow \Omega$ se identifica con H

$$\Omega = \frac{H}{\hbar} \quad \Rightarrow \quad U(t+dt, t) = \mathbb{1} - \frac{i}{\hbar} H dt$$

$$U(t+dt, t_0) = U(t+dt, t) \cdot U(t, t_0) = \left(\mathbb{1} - \frac{i}{\hbar} H dt \right) \cdot U(t, t_0)$$

$$\frac{\partial U}{\partial t} = \frac{U(t+dt, t_0) - U(t, t_0)}{dt} = -\frac{i}{\hbar} H \cdot U(t, t_0) \quad \Rightarrow$$

$$i\hbar \frac{\partial}{\partial t} U = H \cdot U$$

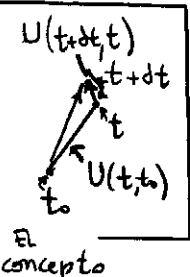
▲ Ecuación para $U(t, t_0)$

$$i\hbar \frac{\partial}{\partial t} |\alpha, t_0, t\rangle = H |\alpha, t_0, t\rangle$$

← Ecuación de Schrödinger para kets

$$i\hbar \frac{\partial}{\partial t} |\alpha, t_0, t\rangle = H |\alpha, t_0, t\rangle$$

Acá el inconveniente es que $H = H(t)$



■ Casos de Solución de $U(t, t_0)$

- Supongamos $H \neq H(t) \rightarrow$

$$U(t, t_0) = e^{-i \frac{H}{\hbar} (t-t_0)}$$

- Sea $H = H(t)$ con $[H(t_1), H(t_2)] = 0 \Rightarrow$

$$U(t, t_0) = e^{-i \frac{H}{\hbar} \int_{t_0}^t H(t') dt'}$$

La integral puede hacerse una vez conocida la expresión de $H(t)$

- Sea $H = H(t)$ con $[H(t_1), H(t_2)] \neq 0 \Rightarrow$

$$U(t, t_0) = 1 + \sum_{n=1}^{\infty} \left(-i \frac{H}{\hbar} \right)^n \int_{t_0}^t dt_1 \int_{t_1}^{t_2} dt_2 \dots \int_{t_{n-1}}^{t_n} dt_n$$

serie de Dyson

EL problema que se suscita es debido a que si H a diferentes tiempos no commuta no podemos poner la exponencial en serie de potencias. En realidad $e^{\hat{A}}$ tiene sentido sólo si la serie $\sum_{n=0}^{\infty} \frac{1}{n!} \hat{A}^n$ tiene sentido; es decir si no surgen ambigüedades al tomar la potencia n del operador \hat{A} .

Para el caso 1 es simplemente:

$$e^{-i \frac{H}{\hbar} (t-t_0)} = 1 + (-i) \frac{H}{\hbar} (t-t_0) + \frac{(-i)^2}{2} \left(\frac{H(t-t_0)}{\hbar} \right)^2 + \dots$$

Pero en caso 3 es:

$$\left(\int H(t') dt' \right) \cdot \left(\int H(t'') dt'' \right) \neq \left(\int H(t'') dt'' \cdot \int H(t') dt' \right) \text{ puesto que al operar es:}$$

$$\int dt' dt'' H(t') H(t'') \neq \int dt' dt'' H(t'') H(t') \text{ pues } [H(t'), H(t'')] \neq 0$$

- Soluciones útiles En el caso 2 $(\int_{t_0}^t H(t') dt')^n$ no tiene problemas; provista la commutatividad

Primeramente conseguimos un \hat{A} tal que $[A, H] = 0 \rightarrow$ (considero $H \neq H(t)$)

$$|\alpha\rangle = \sum_{a'} |a'\rangle \langle a'|\alpha\rangle, \text{ luego } U(t, t_0) |\alpha\rangle = \sum_{a'} e^{-i \frac{H}{\hbar} (t-t_0)} |a'\rangle \langle a'|\alpha\rangle$$

$$\Rightarrow \text{operamos con } U(t, t_0) = \sum_{a'} e^{-i \frac{E_{a'}}{\hbar} (t-t_0)} |a'\rangle \langle a'| \Rightarrow$$

$$U(t, t_0) |\alpha\rangle = \sum_{a'} e^{-i \frac{E_{a'}}{\hbar} (t-t_0)} |a'\rangle \langle a'|\alpha\rangle$$

$$|\alpha, t_0, t\rangle = \sum_{a'} \langle a'|\alpha\rangle \cdot e^{-i \frac{E_{a'}}{\hbar} (t-t_0)} |a'\rangle$$

como \hat{H} y \hat{A} commutan
 $\hat{H}|a'\rangle = E_{a'}|a'\rangle$.
 $\hat{A}|a'\rangle = a'|a'\rangle$
 $\hat{H}^n|a'\rangle = E_{a'}^n|a'\rangle$

comparando $|\alpha, t\rangle = \sum_{a'} \langle a'|\alpha\rangle \cdot |a'\rangle$

El coeficiente es el mismo pero le hemos sumado una fase. $e^{-i \frac{E_{a'}}{\hbar} (t-t_0)}$ que no es global.

Evolución de Valores de expectación

$$|\alpha\rangle = |a'\rangle \rightarrow |\alpha, t\rangle = |a', t\rangle = e^{-\frac{iE_a(t-t_0)}{\hbar}} |a'\rangle$$

Importante
Los autoestados
NO EVOLUCIONAN

La fase es global al considerar un autoestado. La podemos descartar (selección = 1)

$$\langle a, t | B | a, t \rangle = \langle a' | e^{\frac{iE_a(t-t_0)}{\hbar}} B e^{-\frac{iE_{a'}(t-t_0)}{\hbar}} | a' \rangle = \langle a' | B | a' \rangle$$

El valor de expectación de un operador respecto a un autoestado no varía.

$$\langle \alpha, t | B | \alpha, t \rangle = \langle a'' | \sum_{a''} \langle a'' | \alpha \rangle * e^{\frac{iE_{a''}(t-t_0)}{\hbar}} B e^{-\frac{iE_{a''}(t-t_0)}{\hbar}} | a'' \rangle$$

$$\langle \alpha, t | B | \alpha, t \rangle = \sum_{a', a''} C_{a''}^* C_{a'} e^{\frac{i(t-t_0)(E_{a''}-E_{a'})}{\hbar}} \langle a'' | B | a' \rangle$$

El valor de expectación de un operador respecto un estado general tiene una fase no global que produce términos de interferencia.

$$\langle \alpha, t | B | \alpha, t \rangle = \langle \alpha, t_0 | e^{\frac{iH(t-t_0)}{\hbar}} B e^{-\frac{iH(t-t_0)}{\hbar}} | \alpha, t_0 \rangle$$

$$\langle \alpha, t | B | \alpha, t \rangle = \sum_{a'', a'} \underbrace{\langle \alpha, t_0 | a'' \rangle}_{= C_{a''}^*} \underbrace{\langle a'' | e^{\frac{iE_{a''}(t-t_0)}{\hbar}} B e^{-\frac{iE_{a''}(t-t_0)}{\hbar}} | a' \rangle}_{= \langle a'' | B | a' \rangle} \underbrace{\langle a' | \alpha, t_0 \rangle}_{= C_{a'}} = C_{a''}$$

Relaciones de Commutación

$$[A+B, C] = [A, C] + [B, C]$$

$$[A, B] = -[B, A]$$

$$[A, BC] = B[A, C] + [A, B]C$$

$$i\hbar [A, B]_{\text{classic}} = [A, B] \quad \text{, donde } [,]_{\text{classic}}$$

es el corchete de Poisson

$$[x_i, x_j] = 0$$

$$[p_i, p_j] = 0$$

$$[x_i, p_j] = i\hbar \delta_{ij}$$

$$[S_i, S_j] = i\hbar \epsilon_{ijk} S_k$$

Relaciones de
Commutación
fundamentales

$$[x, f(p)] = i\hbar \frac{\partial f}{\partial p}$$

$$[p, G(x)] = -i\hbar \frac{\partial G}{\partial x}$$

si f, G pueden
ser expresadas
en series
de potencias

■ La Ecuación de Schrödinger

$$i\hbar \frac{\partial}{\partial t} |\alpha, t_0, t\rangle = H |\alpha, t_0, t\rangle \quad \text{con}$$

$$\hat{H} = \frac{\hat{p}^2}{2m} + V(x)$$

Puedo meter un bra $\langle x' |$ que no depende del tiempo \Rightarrow

$$i\hbar \frac{\partial}{\partial t} \langle x' | \alpha, t_0, t\rangle = \langle x' | H |\alpha, t_0, t\rangle$$

$$i\hbar \frac{\partial \Psi_\alpha(x', t)}{\partial t} = \langle x' | \frac{\hat{p}^2}{2m} + V(x) |\alpha, t_0, t\rangle$$

$$i\hbar \frac{\partial \Psi_\alpha(x', t)}{\partial t} = -\frac{\hbar^2}{2m} \frac{\partial^2}{\partial x'^2} \Psi_\alpha(x', t) + V(x) \Psi_\alpha(x', t)$$

◀ La ecuación de Schrödinger

■ Representación de Heisenberg

Los kets y los operadores no tienen sentido físico, pero si los valores de expectación. Toda física podrá modificar los primeros pero debe conservar los valores de expectación. Así, tenemos dos representaciones posibles:

Schrödinger	Heisenberg
$ \alpha\rangle \longrightarrow U \alpha\rangle$	$ \alpha\rangle \longrightarrow \alpha\rangle$
$A \longrightarrow A$	$A \longrightarrow U^\dagger A U$
$ \alpha'\rangle \longrightarrow \alpha'\rangle$	$ \alpha'\rangle \longrightarrow U^\dagger \alpha'\rangle$

los kets evolucionan y los operadores permanecen fijos, al igual que los autoestados.

los kets no evolucionan pero si lo hacen los operadores y los autoestados

Debe notarse que:

$$\textcircled{1} \quad \langle \rho | \alpha \rangle = \langle \rho | U^\dagger U | \alpha \rangle$$

$$\textcircled{2} \quad \langle \alpha, t | A | \alpha, t \rangle = \langle \alpha | U^\dagger A U | \alpha \rangle = \begin{cases} \langle A \rangle^{(S)} \\ \langle A \rangle^{(H)} \end{cases}$$

① los productos internos no cambian con el tiempo.

$$\langle A \rangle^{(S)} = \langle A \rangle^{(H)}$$

② los valores de expectación son los mismos en ambos esquemas

$$A(t)^H = U(t) A^S U(t)$$

El operador \hat{A} en Schrödinger no depende explícitamente del tiempo. La idea es que le "pegamos" a los operadores la evolución temporal de los kets.

$$\langle \alpha, t_0 | U^\dagger \underbrace{A^S}_{(S)} \underbrace{(U | \alpha, t_0 \rangle)}_{(H)} = \underbrace{\langle \alpha, t_0 |}_{(S)} \underbrace{U^\dagger A^S}_{(S)} \underbrace{U | \alpha, t_0 \rangle}_{(H)}$$

a $t=t_0$ las representaciones coinciden:

$$|\alpha, t_0, t_0\rangle^{(S)} = |\alpha\rangle^{(H)}$$

● La ecuación de Heisenberg

$$A^H = U^\dagger A^S U$$

$$\frac{\partial A^H}{\partial t} = \frac{\partial U^\dagger}{\partial t} A^S U + U^\dagger \frac{\partial A^S}{\partial t} U + U^\dagger A^S \frac{\partial U}{\partial t}$$

$$i\hbar \frac{\partial U}{\partial t} = H U \Rightarrow$$

$$\frac{\partial U}{\partial t} = \frac{1}{i\hbar} H U; \frac{\partial U^\dagger}{\partial t} = \frac{1}{i\hbar} U^\dagger H$$

$$(HU)^\dagger = U^\dagger H^\dagger = U^\dagger H$$

$$\frac{\partial A^H}{\partial t} = -\frac{1}{i\hbar} U^\dagger H A^S U + U^\dagger \frac{\partial A^S}{\partial t} U + U^\dagger A^S \frac{1}{i\hbar} H U$$

\Rightarrow pues A^S no depende explícitamente del tiempo

$$\frac{\partial A^H}{\partial t} = -\frac{1}{i\hbar} (U^\dagger H U U^\dagger A^S U - U^\dagger A^S U U^\dagger H U) = \frac{1}{i\hbar} (-H A + \Delta H)$$

$$\boxed{\frac{\partial A^{(H)}}{\partial t} = \frac{1}{i\hbar} [A^{(S)}, H^{(H)}]}$$

La ecuación de Schrödinger

Si $A^{(H)}$ commute con el $H^{(H)}$, entonces $A^{(H)}$ es una cantidad conservada (una constante de movimiento). En ese caso el operador no depende del tiempo y entonces $A^{(H)} = A^{(S)}$

• Evolución de Autoestados

$$A^{(S)} |a'\rangle^{(S)} = a' |a'\rangle^{(S)}, \text{ aplico un } U^\dagger \text{ a ambos lados} \rightarrow$$

$$U^\dagger A^{(S)} U U^\dagger |a'\rangle^{(S)} = a' U^\dagger |a'\rangle^{(S)} \rightarrow \begin{array}{l} \text{los } a' \text{ no dependen de la representación porque tienen} \\ \text{significado físico. Entonces los } |a'\rangle \text{ evolucionan.} \end{array}$$

$$A^H (U^\dagger |a'\rangle^{(S)}) = a' (U^\dagger |a'\rangle^{(S)})$$

$$\rightarrow \boxed{|a',t\rangle^{(H)} = U^\dagger |a'\rangle^{(S)}}$$

Importante

$$H^{(H)} = U^\dagger H^{(S)} U = U^\dagger U H^{(S)} = \mathbb{1} H^{(S)} = H^{(S)}$$

Entonces H es el mismo en ambas
pues $\hat{U} = \hat{U}(A) \Rightarrow [U, H] = 0$

vemos que
combinan
los
autoestados
pero no los
autovectores

$$\frac{\partial}{\partial t} \{ |a',t\rangle^{(H)} \} = \frac{\partial}{\partial t} \{ U^\dagger |a'\rangle^{(S)} \}$$

$$\frac{\partial}{\partial t} |a',t\rangle^{(H)} = -\frac{1}{i\hbar} U^\dagger H |a'\rangle^{(S)}$$

$$\frac{\partial}{\partial t} |a',t\rangle^{(H)} = -\frac{1}{i\hbar} H U^\dagger |a'\rangle^{(S)}$$

$$\boxed{i\hbar \frac{\partial}{\partial t} |a',t\rangle^{(H)} = -H |a',t\rangle^{(H)}}$$

Los autoestados evolucionan al revés →
en la picture de Heisenberg

Podemos ver de otro modo la equivalencia:

$$A^{(H)} = U^\dagger \sum_{a'} A^{(S)} |a'\rangle \langle a'| U = \sum_{a'} a' U^\dagger |a'\rangle \langle a'| U$$

$$\text{pero } A^{(H)} = \sum_{a'} A^{(H)} |a',t\rangle \langle a',t| = \sum_{a'}$$

$$A^H = \sum_{a'} a' \underbrace{|a',t\rangle \langle a',t|}_{=} = \sum_{a'} a' \underbrace{(U^\dagger |a'\rangle \langle a'| U)}_{=}$$

$$\Rightarrow \boxed{|a',t\rangle^{(H)} = U^\dagger |a'\rangle^{(S)}}$$

• Coeficientes

$$C_{a'}^{(S)}(t) = \langle a' | \alpha, t_0, t \rangle^{(S)} = \langle a' | (U | \alpha, t_0 \rangle)$$

Los coeficientes en Schrödinger y en Heisenberg

$$C_{a'}^{(H)}(t) = \langle a', t | \alpha, t_0 \rangle^{(H)} = (\langle a' | U) | \alpha, t_0 \rangle$$

$$\text{En "Schrödinger" es } \rightarrow | \alpha, t_0, t \rangle = \sum_{a'} |a'\rangle \langle a' | \alpha, t_0, t \rangle = \sum_{a'} \langle a' | \alpha, t_0, t \rangle |a'\rangle$$

$$\text{En "Heisenberg" es } \rightarrow | \alpha, t_0 \rangle = \sum_{a'} |a', t\rangle \langle a', t | \alpha, t_0 \rangle = \sum_{a'} \langle a', t | \alpha, t_0 \rangle |a', t\rangle$$

Los coeficientes en las expansiones son iguales como corresponde a toda magnitud que tiene sentido físico; $|C_{a'}(t)|^2$ es la probabilidad.

■ Teorema de Ehrenfest

$$X^{(H)} = X(0) + \frac{P(0)}{m} t \rightarrow \text{Para una partícula libre, donde } P(t) = p(0) \text{ es constante de movimiento}$$

$$[X(t), X(0)] = -\frac{i\hbar}{m} t \leftarrow \text{operador que no commute a } t \text{ diferentes}$$

$$H = \frac{P^2}{2m} + V(x)$$

$$\frac{dP}{dt} = \frac{1}{i\hbar} [P, H] = \frac{1}{i\hbar} [P, V(x)] = \frac{1}{i\hbar} (-i\hbar \frac{\partial V}{\partial x})$$

$$\frac{dP}{dt} = -\frac{\partial V}{\partial x} \longrightarrow m \cdot \frac{d^2 x}{dt^2} = -\frac{\partial V}{\partial x}$$

$$P = m \cdot \frac{dx}{dt} \rightarrow \frac{dP}{dt} = m \cdot \frac{d^2 x}{dt^2}$$

Remark

Estamos usando:

$$\frac{\partial A^H}{\partial t} = \frac{1}{i\hbar} [A^H, H]$$

Debe notarse que relaciones como:

$[X, P] = i\hbar$ son para operadores en la pictura de Schrödinger, donde los operadores no cambian en el tiempo. $[X(0), P(0)] = i\hbar$

$$\langle \alpha, t_0 | m \frac{d^2 x}{dt^2} | \alpha, t_0 \rangle = -\langle \alpha, t_0 | \frac{\partial V}{\partial x} | \alpha, t_0 \rangle$$

$$m \cdot \frac{d^2}{dt^2} \langle \alpha, t_0 | x | \alpha, t_0 \rangle = -\langle \alpha, t_0 | \frac{\partial V}{\partial x} | \alpha, t_0 \rangle$$

Teorema de Ehrenfest

$$m \cdot \frac{d^2}{dt^2} \langle x^{(s)} \rangle = -\langle \frac{\partial V}{\partial x}^{(s)} \rangle$$

los valores de expectación son iguales en ambas representaciones

■ El oscilador Armónico

$$H = \frac{P^2}{2m} + \frac{m\omega^2 x^2}{2} \xrightarrow[1D]{\text{OSCARM.}} E = \hbar\omega \left(n + \frac{1}{2}\right)$$

El problema del oscilador armónico en 1D con el hamiltoniano H dado puede resolverse usando un nuevo operador \hat{a} :

$$\hat{a} = \sqrt{\frac{m\omega}{2\hbar}} \left(x + i \frac{P}{m\omega} \right) \quad \text{con:} \quad \hat{a}^\dagger = \sqrt{\frac{m\omega}{2\hbar}} \left(x - i \frac{P}{m\omega} \right)$$

Este operador es suma de \hat{x}, \hat{p} pero No es hermitico. Cumple que:

$$[\hat{a}, \hat{a}^\dagger] = 1 \quad \hat{a}^\dagger \hat{a} = \frac{H}{\hbar\omega} - \frac{1}{2} \Rightarrow H = \hbar\omega \left(\hat{a}^\dagger \hat{a} + \frac{1}{2}\right)$$

donde se define: $\hat{N} = \hat{a}^\dagger \hat{a}$ \leftarrow el operador número

Luego $[\hat{N}, \hat{H}] = 0 \Rightarrow$ tienen base de autoestados común $\{|n\rangle\}$

$$\hat{N} |n\rangle = n |n\rangle$$

$n \equiv \# \text{ de cuantos de energía}$

$$\begin{aligned} \hat{H} |n\rangle &= \hbar\omega \left(n + \frac{1}{2}\right) |n\rangle \\ &= E_n \end{aligned}$$

$$[N, \hat{a}] = [\hat{a}^\dagger, \hat{a}] = -[\hat{a}, \hat{a}^\dagger] = -(\hat{a}^\dagger [\hat{a}, \hat{a}] + [\hat{a}, \hat{a}^\dagger] \hat{a}) = -\hat{a}$$

$$[N, \hat{a}^\dagger] = [\hat{a}^\dagger, \hat{a}^\dagger] = -[\hat{a}^\dagger, \hat{a}^\dagger] = -(\hat{a}^\dagger [\hat{a}^\dagger, \hat{a}^\dagger] + [\hat{a}^\dagger, \hat{a}^\dagger] \hat{a}^\dagger) = \hat{a}^\dagger$$

Queremos ver qué le hace a^+ a un autovector $|n\rangle$ y luego a sobre $|n\rangle$.

$$N|n\rangle = ([N, a^+] + a^+ N)|n\rangle = a^+|n\rangle + a^+ n|n\rangle$$

$$\hat{N}[a^+|n\rangle] = (n+1)[a^+|n\rangle]$$

Entonces, como no hay degeneración, tenemos $N|n\rangle = n'|n\rangle \Rightarrow$

$$a^+|n\rangle = c_1|n+1\rangle$$

Procediendo igual para $a|n\rangle$ será:

$$a|n\rangle = c_2|n-1\rangle$$

$$a^+|n\rangle = c_1|n+1\rangle \xleftarrow{\text{DC}} \langle n+1|a^* = \langle n|a$$

$$a|n\rangle = c_2|n-1\rangle \xleftarrow{\text{DC}} \langle n-1|a^* = \langle n|a^+$$

$$\langle n|N|n\rangle = n\langle n|n\rangle = n = \langle n|a^+a|n\rangle = \langle n-1|c_2^*c_2|n-1\rangle = |c_2|^2\langle n-1|n-1\rangle$$

$$n = \underbrace{\langle n|1+a+a^+|n\rangle}_{=N} = -1 + \langle n|aa^+|n\rangle = -1 + \langle n+1|c_1^*c_1|n+1\rangle = -1 + |c_1|^2\langle n+1|n+1\rangle$$

$$|c_2| = \sqrt{n}$$

$$|c_1| = \sqrt{n+1}$$

$$\hat{a}^+|n\rangle = \sqrt{n+1}|n+1\rangle$$

$$\hat{a}|n\rangle = \sqrt{n}|n-1\rangle$$

\hat{a}^+ es el operador de creación de cuantos y \hat{a} el de aniquilación.

• El estado fundamental $|0\rangle$

$$a|n\rangle \xleftrightarrow{\text{DC}} \langle n|a^+ \Rightarrow (\langle n|a^+)(a|n\rangle) \geq 0 \rightarrow n\langle n|n\rangle \geq 0 \Rightarrow \boxed{n \geq 0}$$

Viene del postulado para productos internos

n viene por N

$$a|n\rangle = \sqrt{n}|n-1\rangle$$

$$a^z|n\rangle = \sqrt{n}\sqrt{n-1}|n-2\rangle$$

... \Rightarrow en algún momento se llega a $|n=0\rangle$

$$E_0 = \frac{\hbar\omega}{2}$$

$|0\rangle \equiv$ fundamental

$$a^+|0\rangle = \sqrt{1}|1\rangle$$

$$a^{+2}|0\rangle = \sqrt{1}\sqrt{2}|2\rangle$$

$$a^{+3}|0\rangle = \sqrt{1}\sqrt{2}\sqrt{3}|3\rangle$$

... \Rightarrow

$$\frac{(a^+)^n}{\sqrt{n!}}|0\rangle = |n\rangle$$

Podemos llegar a cualquier estado con el a^+

▲ No se puede bajar más

$$\hat{a}|0\rangle = 0$$

Las matrices de \hat{a} , \hat{a}^+ solo tienen una diagonal corrida de elementos.

$$\langle n'|a|n\rangle = \sqrt{n}\langle n'|n-1\rangle = \sqrt{n}\delta_{n,n-1}$$

$$\langle n'|a^+|n\rangle = \sqrt{n-1}\langle n'|n+1\rangle = \sqrt{n-1}\delta_{n,n+1}$$

También puede verse que: $\langle n|x|n\rangle = 0$
 $\langle n|p|n\rangle = 0$

$$\langle(\Delta x)^2\rangle_{\text{lo}} \langle(\Delta p)^2\rangle_{\text{lo}} = \frac{\hbar^2}{4} \quad \text{incertezza minima}$$

\downarrow El estado fundamental tiene incertezza minima

• Función de Onda

$$\Psi_n(x') = \langle x'|n\rangle ; \text{ quiero evaluar } \langle x'|0\rangle = \Psi_0(x') \rightarrow \boxed{\langle x'|a|0\rangle = 0}$$

$$0 = \sqrt{\frac{m\omega}{2\hbar}} \langle x'|x + \frac{ip}{m\omega}|0\rangle = \sqrt{\frac{m\omega}{2\hbar}} \cdot [x'\langle x'|0\rangle + \frac{i}{m\omega} \langle x'|p|0\rangle]$$

$$x'\langle x'|0\rangle + \frac{i}{m\omega} (-ik)\frac{\partial}{\partial x} \langle x'|0\rangle = 0 \rightarrow x'\langle x'|0\rangle = -\frac{\hbar}{m\omega} \frac{\partial}{\partial x} \langle x'|0\rangle$$

$$-\frac{\int m\omega \cdot x' dx'}{t} = \int \frac{d\langle x'|o\rangle}{\langle x'|o\rangle} \rightarrow \langle x'|o\rangle = N \cdot e^{-\frac{m\omega x'^2}{2t}}$$

$$1 = \int_{-\infty}^{+\infty} \langle o|x\rangle \langle x|o\rangle dx' = \int_{-\infty}^{+\infty} |N|^2 e^{-\frac{m\omega x'^2}{t}} dx' = |N|^2 \sqrt{\frac{\pi t}{m\omega}} \rightarrow |N| = \left(\frac{m\omega}{\pi t}\right)^{1/4} = \frac{1}{(\pi x_0^2)^{1/4}}$$

$$\boxed{\langle x'|o\rangle = \frac{1}{\pi^{1/4} x_0^{1/2}} e^{-\frac{1}{2} \left(\frac{x'}{x_0}\right)^2}} \quad \leftarrow \text{Pacote Gaussiano}$$

El estado fundamental tiene incertezas mínimas y debe corresponder a un paquete gaussiano.

Nota

a^+ crea sobre ket / aniquila sobre bra
 a aniquila sobre ket / crea sobre bra

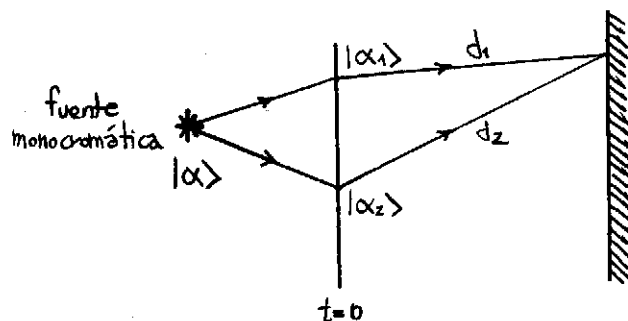
$$DC \quad a^+ |n\rangle = \sqrt{n+1} |n+1\rangle$$

$$\langle n|a = \langle n+1|\sqrt{n+1}$$

$$DC \quad a |n\rangle = \sqrt{n} |n-1\rangle$$

$$\langle n|a^+ = \langle n-1|\sqrt{n}$$

■ Interferencia en experimento de Young



Uso \hat{H} de partículas libres

$$\frac{1}{2} |\alpha\rangle = |\alpha_1\rangle = |\alpha_2\rangle$$

$$t > 0 \quad |\tilde{\alpha}_1\rangle = e^{-i\hat{H}t/\hbar} |\alpha_1\rangle = e^{-iE\alpha t/\hbar} |\alpha_1\rangle$$

$$|\tilde{\alpha}_2\rangle = e^{-iE\alpha t/\hbar} |\alpha_2\rangle$$

En la pantalla debajo verse la interferencia de los dos estados solapados.

$$|\tilde{\alpha}\rangle = |\tilde{\alpha}_1\rangle + |\tilde{\alpha}_2\rangle$$

$$= e^{-iE\alpha \frac{d_1}{\hbar r} \frac{1}{2\pi}} |\alpha_1\rangle + e^{-iE\alpha \frac{d_2}{\hbar r} \frac{1}{2\pi}} |\alpha_2\rangle$$

$$|\tilde{\alpha}\rangle = \frac{1}{2} e^{-i\frac{E\alpha}{\hbar r} \frac{d_1}{2\pi}} \left[1 + e^{-i\frac{E\alpha(d_2-d_1)}{\hbar r}} \right] |\alpha\rangle$$

$$\langle \tilde{\alpha} | \tilde{\alpha}\rangle = \frac{1}{4} \left[1 + e^{-i\frac{E\alpha(d_2-d_1)}{\hbar r}} \right]^2 = \frac{1}{4} \left[(1 + \cos^2) + \sin^2 \right] = \boxed{\frac{1}{2} + \frac{1}{2} \cos \left(\frac{E\alpha(d_2-d_1)}{\hbar r} \right)}$$

Al partir el estado $|\alpha\rangle$ y volver a unirlo en $|\alpha_1\rangle + |\alpha_2\rangle$ vemos una "intensidad" que depende de la Δ camino

■ Cambio de Cero del Potencial

En Mecánica clásica la física de un problema no se ve afectada por un cambio de Gauge. Si movemos el cero de potencial, la situación física es la misma. Veamos qué sucede en mecánica cuántica.

$$|\alpha, t_0, t\rangle = e^{-i\left(\frac{p^2}{2m} + V(x)\right)\frac{(t-t_0)}{\hbar}} |\alpha, t_0\rangle$$

$$|\tilde{\alpha}, t_0, t\rangle = e^{-i\left(\frac{p^2}{2m} + V(x) + V_0\right)\frac{(t-t_0)}{\hbar}} |\alpha, t_0\rangle$$

$$|\tilde{\alpha}, t_0, t\rangle = e^{-iV_0\frac{(t-t_0)}{\hbar}} |\alpha, t_0, t\rangle \quad \text{difieren en una fase } |\tilde{\alpha}, t\rangle \text{ y } |\alpha, t\rangle$$

⇒ los valores de expectación NO cambian (con V_0 constante)

Este es un experimento ideal [pensado]. Dentro de los cilindros hay campo nulo. Se varía el V abriendo y cerrando la llave a la entrada y a la salida.

Se cambia la fase de las partículas inferiores respecto de las superiores ⇒ habrá interferencia en Ω .

Clásicamente no hay variación

$$\Delta \text{fase} = -\frac{i}{\hbar} e \int_{t_1}^{t_2} V_1(t) - V_2(t) dt$$

$$\Delta \text{fase} = -\frac{i e}{\hbar} \Delta V$$

Lo que realmente cuenta es la diferencia de potencial ΔV , la cual si tiene sentido físico, porque es independiente de la medida y porque pueden escribirse los campos en función de aquella.

$$E = -\vec{\nabla}\phi - \frac{1}{c} \cdot \frac{\partial \vec{A}}{\partial t}$$

$$H = \frac{1}{2m} \left(\vec{P} - \frac{e\vec{A}}{c} \right)^2 + e\phi$$

$$\frac{dx}{dt} = \frac{1}{i\hbar} [x_i, H] = \frac{p_i - eA_i}{m}$$

Si $\vec{A} = A_x \hat{x}$

■ El Propagador

Físicamente representa la probabilidad de transición entre autoestados por el paso del tiempo:

$$|x\rangle \xrightarrow{t} |x'\rangle$$

$$\langle x' | e^{-i\frac{H(t-t_0)}{\hbar}} | x \rangle = K(x', t; x, t_0) \quad \leftarrow \text{El propagador}$$

$$\langle x'' | \alpha, t_0, t \rangle = \langle x'' | e^{-i\frac{H(t-t_0)}{\hbar}} | \alpha, t_0 \rangle$$

$$= \int dx' \langle x'' | e^{-i\frac{H(t-t_0)}{\hbar}} | x' \rangle \langle x' | \alpha, t_0 \rangle$$

$$\underbrace{\Psi_\alpha(x'', t)}_{\text{Función de onda final}} = \int dx' \underbrace{K(x'', t; x', t)}_{\text{Función de onda inicial}} \underbrace{\Psi_\alpha(x', t_0)}_{\text{Función de onda inicial}}$$

Podemos pensar que el propagador lleva la función de onda desde t_0 a t . Se puede escribir:

$$K(x'', t; x', t_0) = \sum_{a'} \langle x'' | a' \rangle \langle a' | x' \rangle e^{-i\frac{E_a(t-t_0)}{\hbar}}$$

Metemos un observable A
donde $[A, H] = 0$ y
 $A(a') = a' |a'\rangle$

El propagador depende del potencial, pero no de la función de onda inicial. Se debe cumplir que:

$$\lim_{t \rightarrow t_0} K(x'', t; x', t_0) = \delta^3(x'' - x')$$

$$K(x'', t; x', t_0) = \sum_{a'} \langle x'' | e^{-i\frac{H(t-t_0)}{\hbar}} | a' \rangle \langle a' | x' \rangle = \sum_{a'} \Psi_{a''}(x'' | t) \cdot \langle a' | x' \rangle$$

$$K(x'', t; x', t_0) = \sum_{a'} c_{a'}(x') \cdot \underbrace{\Psi_{a''}(x'' | t)}_{\langle x'' | e^{-i\frac{E_a(t-t_0)}{\hbar}} | a' \rangle} \rightarrow x', t_0 \text{ fijo} \quad \text{esta satisface la ecuación de Schrödinger}$$

⇒ El propagador es una función de Green que satisface:

$$\left(-\frac{\hbar^2}{2m} \nabla^2 + V(x'') - ik \frac{\partial}{\partial t} \right) K(x'', t; x', t_0) = -i\hbar \delta^3(x'' - x') \delta(t - t_0)$$

$$\text{con } K(x'', t; x', t_0) = 0 \quad t < t_0$$

↑ Condición de contorno ↑

• El propagador para la partícula libre

$$\begin{aligned} K(x'', t; x', t_0) &= \int dp' \langle x'' | e^{-i\frac{p'^2}{2m\hbar}(t-t_0)} | p' \rangle \langle p' | x' \rangle \\ &= \int dp' e^{-i\frac{p'^2}{2m\hbar}(t-t_0)} \langle x'' | p' \rangle \langle p' | x' \rangle \\ &= \frac{1}{2\pi\hbar} \int dp' e^{-i\frac{p'^2}{2m\hbar}(t-t_0)} e^{-i\frac{p'}{\hbar}(x' - x'')} \end{aligned}$$

$$K(x'', t; x', t_0) = \sqrt{\frac{m}{2\pi\hbar i(t-t_0)}} \cdot e^{i\frac{m(x''-x')^2}{2\hbar(t-t_0)}}$$

◀ Propagador de una partícula libre

Se puede escribir el propagador en la representación de Heisenberg.

$$\langle x'' | e^{-i \frac{H(t-t_0)}{\hbar}} | x' \rangle = \left(\langle x'' | e^{-i \frac{Ht}{\hbar}} \right) \left(e^{-i \frac{Ht_0}{\hbar}} | x' \rangle \right) = \langle x'', t | x', t_0 \rangle$$

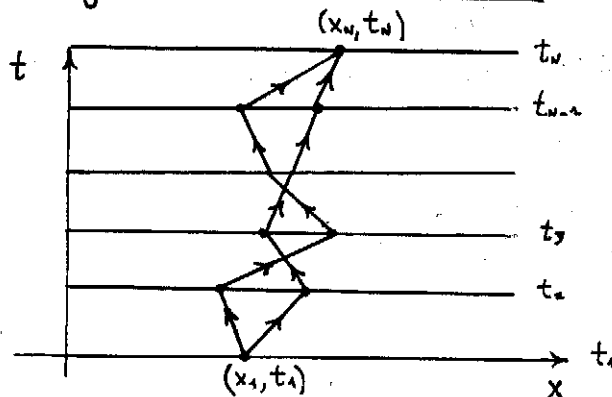
$$K(x'', t; x', t_0) = \langle x'', t | x', t_0 \rangle$$

El propagador cumple con la propiedad de composición (como el $U(t,t_0)$); es decir:

$$K(x'', t; x', t_0) = K(x'', t, x', t_1) \cdot K(x', t_1, x', t_0)$$

$$t > t_1 > t_0$$

■ Integrales de Camino de Feynman



Consideraremos una partícula yendo de (x_1, t_1) a (x_N, t_N) . Dividimos el tiempo

$$\Delta t = \frac{t_N - t_1}{N-1}$$

Queremos ver la amplitud de transición desde estado 1 al N.

$$\langle x_N, t_N | x_1, t_1 \rangle = \int dx_{N-1} \int dx_{N-2} \dots \int dx_2 \underbrace{\langle x_N, t_N | x_{N-1}, t_{N-1} \rangle \dots \langle x_2, t_2 | x_1, t_1 \rangle}_{= N}$$

Se puede pensar como que estamos sumando sobre todos los posibles caminos entre (x_1, t_1) y (x_N, t_N) fijos. En mecánica clásica teníamos un solo camino, el que minimizaba la acción S

$$\delta \int_{t_1}^{t_2} dt \mathcal{L} = \delta S = 0$$

En mecánica cuántica todos los posibles caminos aportan. En un libro de Dirac, Feynman lee

$$\langle x_2, t_2 | x_1, t_1 \rangle \text{ corresponde a } e^{i \int_{t_1}^{t_2} \frac{\mathcal{L}}{\hbar} dt}$$

definiremos:

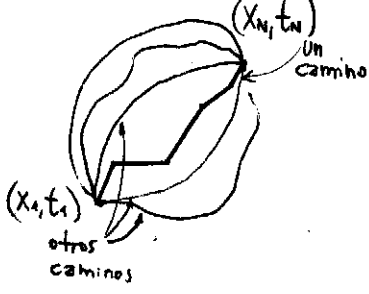
$$S_{(n,n-1)} \equiv \int_{t_{n-1}}^{t_n} \mathcal{L}(x, \dot{x}) dt$$

Luego para considerar la suma sobre todos los segmentillos, a lo largo de un camino, tendremos:

$$N. = \prod_{n=2}^N e^{\frac{i}{\hbar} S_{(n,n-1)}} = e^{\frac{i}{\hbar} \left(\sum_{n=2}^N S_{(n,n-1)} \right)} = e^{\frac{i}{\hbar} S(N,1)}$$

luego, hay que considerar TODOS los posibles caminos

$$\langle x_N, t_N | x_1, t_1 \rangle \sim \sum_{\text{caminos}} e^{\frac{i}{\hbar} S(N,1)}$$



Cuando $t_0 \rightarrow 0$ las trayectorias contribuyen con una cantidad que oscila loca y violentamente. Tienen a la cancelación para caminos alejados

Por otro la fase es grande \Rightarrow se cancelan

Esto no ocurre cerca del camino (real) que cumple: $\delta S(N,1) = 0$

Para trayectorias cercanas la fase no es grande y hay interferencia constructiva

• Para un δt infinitesimal es:

$$\langle x_N, t_N | x_{n-1}, t_{n-1} \rangle = N. e^{i \frac{\delta S(n,n-1)}{\hbar}}$$

$$S_{(n,n-1)} = \int_{t_{n-1}}^{t_n} dt \left(\frac{m}{2} \dot{x}^2 - V(x) \right) \underset{\substack{\text{orden} \\ 1 \text{ orden }}}{\approx} \int_{t_{n-1}}^{t_n} dt \left(\frac{m}{2} \frac{(x_n - x_{n-1})^2}{\delta t^2} - V \left(\frac{x_n + x_{n-1}}{2} \right) \right)$$

Consideremos, por ejemplo, una partícula libre: $\Rightarrow V=0$

\Rightarrow resolviendo

$$\langle X_n, t_n | X_{n-1}, t_{n-1} \rangle = N \cdot e^{i m \frac{(X_n - X_{n-1})^2}{2\pi \Delta t}}$$

Esto no es otra cosa que el propagador de una partícula libre. Para un Δt finito será:

$$\langle X_n, t_n | X_1, t_1 \rangle = \lim_{N \rightarrow \infty} \left(\frac{m}{2\pi \hbar i \Delta t} \right)^{\frac{N-1}{2}} \int dx_{n-1} \int dx_{n-2} \dots \int dx_2 \prod_{n=2}^N e^{i \frac{S(n, n-1)}{\hbar}}$$

$$\langle X_n, t_n | X_1, t_1 \rangle = \boxed{\int_{x_1}^{x_n} D[x(t)] \cdot e^{i \int_{t_1}^{t_n} dt \frac{L(x, \dot{x})}{\hbar}}} \quad \blacktriangleleft \text{ integral de camino de Feynman}$$

En base a éstas Feynman desarrolla una formulación equivalente de la mecánica cuántica que utiliza los conceptos de: ① superposición ② composición de la transición ③ Límite clásicos con $\hbar \rightarrow 0$.

Estos integrales contienen toda la información del sistema cuántico, aunque no sea sencillo extraerla.

Consideremos un propagador de $(x', 0) \rightarrow (x', t)$

$$G(t) = \int dx' K(x', t; x', 0) = \int dx' \langle x' | e^{-i \frac{Ht}{\hbar}} | x' \rangle = \sum_{a'} \int dx' \langle x' | e^{-i \frac{Ea't}{\hbar}} | a' \rangle \langle a' | x' \rangle$$

$$G(t) = \sum_{a'} e^{-i \frac{Ea't}{\hbar}} \left| \int dx' |x'| \langle a' | x' \rangle \right|^2 = \boxed{\sum_{a'} e^{-i \frac{Ea't}{\hbar}}} \quad \leftarrow \text{Es reminiscencia de la función de partición de mecánica estadística}$$

$$\begin{array}{l} \text{Tomando} \\ \text{Laplace Fourier} \end{array} \quad \tilde{G}(E) = -i \int dE \frac{G(t)}{t} e^{iEt/\hbar} = \boxed{\sum_{a'} \frac{1}{E - E_a}} \quad \leftarrow \text{El espectro de autoenergías son los polos de } \tilde{G}(E)$$

La expresión:

$$\langle x, t | x_1, t_1 \rangle \equiv \text{integral de camino de Feynman}$$

satisface la ecuación de Schrödinger y es una alternativa a la formulación de la cuántica usual.

■ Introducción AL Momento Angular (Rotaciones)

EL operador \hat{L} será el encargado de realizar las rotaciones. Por el álgebra visto en la mecánica clásica sabemos que; dado un vector \vec{v} y una matriz R ortogonal se tiene:

$$\hat{V} = R \vec{v}$$

$$\text{con } |\hat{V}| = |\vec{v}| \quad |\vec{v}|^2 = \vec{v}^t \vec{v} \rightarrow (\vec{v}^t R^t)(R \vec{v}), \quad R^t R = R R^t = \mathbb{1}$$

puer

CLAVOSURA

$$(R_1 R_2)(R_1 R_2)^t = R_1 R_2 R_2^t R_1^t = \mathbb{1} \quad \leftarrow \text{el producto de dos matrices ortogonales es otra matriz ortogonal}$$

ASOCIATIVIDAD

$$R_1 (R_2 R_3) = (R_1 R_2) R_3$$

\exists identidad $\mathbb{1}$

$$R \cdot \mathbb{1} = \mathbb{1} \cdot R = R$$

\exists inversa R^{-1}

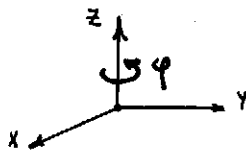
$$R \cdot R^{-1} = R^{-1} \cdot R = \mathbb{1} \Rightarrow \text{con } R^{-1} = R^t$$

MATRIZ
ORTOGONAL
 $R^t R = \mathbb{1}$

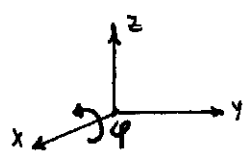
Esto define un grupo de matrices ortogonales que realiza rotaciones y se denomina $SO(3)$

■ No Commutatividad de las Rotaciones Clásicas

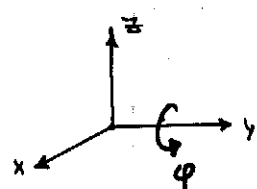
Las rotaciones finitas no commutan. Luego el grupo de las rotaciones será un grupo abeliano



$$R_z(\varphi) = \begin{pmatrix} \cos \varphi & -\sin \varphi & 0 \\ \sin \varphi & \cos \varphi & 0 \\ 0 & 0 & 1 \end{pmatrix}$$



$$R_x(\varphi) = \begin{pmatrix} 1 & 0 & 0 \\ 0 & \cos \varphi & -\sin \varphi \\ 0 & \sin \varphi & \cos \varphi \end{pmatrix}$$



$$R_y(\varphi) = \begin{pmatrix} \cos \varphi & 0 & \sin \varphi \\ 0 & 1 & 0 \\ -\sin \varphi & 0 & \cos \varphi \end{pmatrix}$$

Si reemplazamos $\begin{cases} \cos(\epsilon) \approx 1 - \epsilon^2/2 \\ \sin(\epsilon) \approx \epsilon \end{cases}$ hasta orden 2

se puede ver que las rotaciones, sólo commutan \Rightarrow orden 1 (ϵ) \Rightarrow rotación infinitesimal ($d\varphi$) COMMUTA (en torno a ejes diferentes) rotación finita (φ) NO COMMUTA

■ Rotaciones Cuánticas

Para las rotaciones cuánticas se pedirá:

$$D(\hat{n}, d\varphi) = \mathbb{1} - i \frac{\hat{J} \cdot \hat{n}}{\hbar} d\varphi$$

↳ Rotación infinitesimal

$$D(\hat{n}, \theta) = e^{-i \frac{\hat{J} \cdot \hat{n}}{\hbar} \theta}$$

↳ Rotación finita

donde \hat{J} es el operador de las rotaciones, y \hat{n} es un momento angular general. Se postula de esta forma para que \hat{D} cumple las mismas propiedades que R y la relación de commutación

$$R_x R_y - R_y R_x = R_z(\epsilon^2) - \mathbb{1}$$

$$D(x, \epsilon) \cdot D(y, \epsilon) - D(y, \epsilon) \cdot D(x, \epsilon) = D(z, \epsilon^2) - \mathbb{1}$$

\Rightarrow la cuenta lleva a:

$$J_x J_y - J_y J_x = i \hbar J_z$$

\Rightarrow generalizando se llega a:

$$[J_i, J_j] = i \hbar \epsilon_{ijk} J_k$$

Relaciones de commutación generales para momento angular \hat{J}

Para sistemas de spin $\frac{1}{2}$ es $D(\hat{n}, \phi) = e^{-i \frac{\hat{S} \cdot \hat{n}}{\hbar}}$

Se puede ver que ante rotaciones cuánticas $D(\hat{n}, \phi)$ los valores de expectación transforman como vectores

$$\begin{pmatrix} \langle S'_x \rangle \\ \langle S'_y \rangle \\ \langle S'_z \rangle \end{pmatrix} = \begin{pmatrix} R_{(\hat{n}, \phi)} \end{pmatrix} \begin{pmatrix} \langle S_x \rangle \\ \langle S_y \rangle \\ \langle S_z \rangle \end{pmatrix}$$

En general $\vec{J} = (J_x, J_y, J_z)$ se transforma como vector $\Rightarrow \vec{J}$ es un operador vectorial

Para spin $\frac{1}{2}$ es:

$$|\alpha\rangle = (+|\alpha\rangle)|+\rangle + (-|\alpha\rangle)|-\rangle$$

$$D(\hat{z}, \phi)|\alpha\rangle = e^{-i \frac{S_z \phi}{\hbar}} (+|\alpha\rangle)|+\rangle + e^{-i \frac{S_z \phi}{\hbar}} (-|\alpha\rangle)|-\rangle$$

$$D(\hat{z}, \phi)|\alpha\rangle = +|\alpha\rangle e^{-i \frac{\phi}{2}}|+\rangle + -|\alpha\rangle e^{i \frac{\phi}{2}}|-\rangle$$

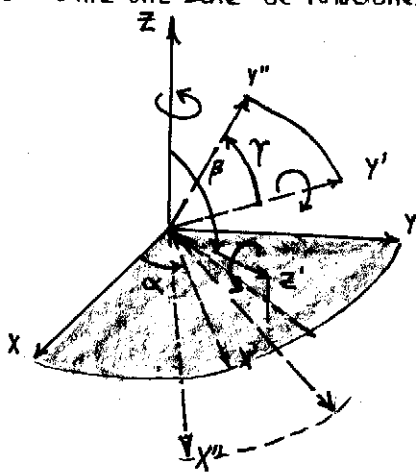
Si $\phi = 2\pi$ (cosa que debiera dejar al ket incómodo)

$$D(\hat{z}, 2\pi)|\alpha\rangle = -+|\alpha\rangle|+\rangle - -|\alpha\rangle|-\rangle = |\alpha\rangle$$

Luego, esto es una muestra del carácter no-clásico del spin; una vuelta completa le cambia el signo al ket [igualmente notemos que el valor de expectación —que es algo físico— no varía]. Es muestra de que el ket no puede tener sentido físico.

■ Ángulos de Euler

Se define una serie de rotaciones:



$$\textcircled{1} R_z(\alpha); \textcircled{2} R_y(\beta); \textcircled{3} R_z(\gamma)$$

Esto equivale a:

$$R(\alpha, \beta, \gamma) = R_z(\gamma) \cdot R_y(\beta) \cdot R_z(\alpha) \quad \text{[1]}$$

$$e^{-i \frac{J_z \gamma}{\hbar}} \cdot e^{-i \frac{J_y \beta}{\hbar}} \cdot e^{-i \frac{J_z \alpha}{\hbar}} |\psi\rangle$$

Pero desconozco como operar en los ejes móviles x', y'

$$R_y(\beta) = R_z(\alpha) R_y(\beta) R_z^{-1}(\alpha)$$

$$R_z(\gamma) = R_y(\beta) R_z(\gamma) R_y^{-1}(\beta)$$

$$R(\alpha, \beta, \gamma) = R_z(\gamma) \underbrace{R_y(\beta) R_z(\alpha)}_1 R_y^{-1}(\beta) R_z^{-1}(\alpha)$$

$$= R_z(\alpha) R_y(\beta) R_z^{-1}(\alpha) \underbrace{R_z(\gamma) R_z(\alpha)}_1 R_z^{-1}(\alpha)$$

$$R(\alpha, \beta, \gamma) = R_z(\alpha) R_y(\beta) R_z(\gamma) \quad \leftarrow$$

Rotación equivalente a [1] pero para ejes fijos (en QM sabremos rotar en torno a ejes fijos)

Los ángulos de Euler son la caracterización de una rotación general en 3D

Entonces nuestras rotaciones en 3D cuántica serán:

$$D(\alpha, \beta, \gamma) = D_z(\alpha) D_y(\beta) D_z(\gamma) = e^{-i \frac{J_z \alpha}{\hbar}} \cdot e^{-i \frac{J_y \beta}{\hbar}} \cdot e^{-i \frac{J_z \gamma}{\hbar}}$$

Autoestados y Autoralores de \hat{J}

Partimos de $[\hat{J}_i, \hat{J}_j] = i\hbar \epsilon_{ijk} \hat{J}_k$

$$\hat{J}^2 = \hat{J}_x^2 + \hat{J}_y^2 + \hat{J}_z^2$$

$$[\hat{J}^2, \hat{J}_i] = 0$$

Se eligen \hat{J}^2, \hat{J}_z como observables que comutan

$$\hat{J}^2 |a, b\rangle = a |a, b\rangle$$

$$\hat{J}_z |a, b\rangle = b |a, b\rangle$$

MUY IMPORTANTE. Se prueba evitando directamente. Lleva a:

$$[\hat{J}^2, \hat{J}_i^n] = 0 \quad \text{con } \begin{cases} i = x, y, z \\ n \in \mathbb{N} \end{cases}$$

Definiremos los operadores de subida y de bajada:

$$\hat{J}_{\pm} = \hat{J}_x \pm i\hat{J}_y$$

$$\text{con} \quad \begin{cases} [\hat{J}_+, \hat{J}_-] = \pm \hbar \hat{J}_z \\ [\hat{J}_z, \hat{J}_{\pm}] = \pm \hbar \hat{J}_{\pm} \\ [\hat{J}_{\pm}, \hat{J}^2] = 0 \end{cases}$$

$$\hat{J}^2 (\hat{J}_{\pm} |a, b\rangle) = \hat{J}_{\pm} \hat{J}^2 |a, b\rangle = a (\hat{J}_{\pm} |a, b\rangle) \Rightarrow \hat{J}_{\pm} |a, b\rangle = \square |a, b\rangle$$

$$(\hat{J}_z \hat{J}_{\pm} - \hat{J}_{\pm} \hat{J}_z) |a, b\rangle = \pm \hbar \hat{J}_{\pm} |a, b\rangle$$

$$\hat{J}_z (\hat{J}_{\pm} |a, b\rangle) = (b \pm \hbar) (\hat{J}_{\pm} |a, b\rangle) \Rightarrow \hat{J}_{\pm} |a, b\rangle = \square |a, b \pm \hbar\rangle$$

$$\hat{J}_{\pm} |a, b\rangle = c_{\pm} |a, b \pm \hbar\rangle$$

$\hat{J}_+ |a, b\rangle = c_+ |a, b + \hbar\rangle$ sube el \hat{J}_z
 $\hat{J}_- |a, b\rangle = c_- |a, b - \hbar\rangle$ en una unidad de \hbar
 baja el \hat{J}_z
 en una unidad de \hbar

$$\hat{J}_+ \hat{J}_- = \hat{J}_x^2 + i\hat{J}_y \hat{J}_x - i\hat{J}_x \hat{J}_y + \hat{J}_y^2$$

$$\hat{J}_- \hat{J}_+ = \hat{J}_x^2 - i\hat{J}_y \hat{J}_x + i\hat{J}_x \hat{J}_y + \hat{J}_y^2$$

$$(\hat{J}_+^+) = \hat{J}_-$$

$$\hat{J}^2 = \hat{J}_z^2 + \frac{1}{2} (\hat{J}_+ \hat{J}_- + \hat{J}_- \hat{J}_+)$$

$$\hat{J}^2 - \hat{J}_z^2 = \frac{1}{2} (\hat{J}_+ \hat{J}_+^+ + \hat{J}_+^+ \hat{J}_+)$$

$$\langle a, b | \hat{J}^2 - \hat{J}_z^2 | a, b \rangle = \langle a, b | \hat{J}_+ \hat{J}_+^+ + \hat{J}_+^+ \hat{J}_+ | a, b \rangle (\frac{1}{2})$$

$$(a - b^2) \langle a, b | a, b \rangle = [\langle a, b | \hat{J}_+ \hat{J}_+^+ | a, b \rangle + \langle a, b | \hat{J}_+^+ \hat{J}_+ | a, b \rangle] (\frac{1}{2})$$

$$(a - b^2) = |\hat{J}_+^+ |a, b\rangle|^2 \geq 0 \quad |\hat{J}_+^+ |a, b\rangle|^2$$

$$[a \geq b^2] \leftarrow \text{Háglo cota para } b$$

$$\hat{J}_+ |a, b_m\rangle = 0 \leftarrow \text{Como no puede seguir subiendo debe dar el ket nulo}$$

$$\hat{J}_- \hat{J}_+ |a, b_m\rangle = 0, \text{ pero} \quad \hat{J}_- \hat{J}_+ = \hat{J}_x^2 + \hat{J}_y^2 + i[\hat{J}_x, \hat{J}_y]$$

$$\hat{J}_- \hat{J}_+ = \hat{J}_z^2 - \hat{J}_z^2 + i\hbar \hat{J}_z$$

$$(\hat{J}^2 - \hat{J}_z^2 - \hbar \hat{J}_z) |a, b_m\rangle = 0$$

$$(a - b_m^2 - \hbar b_m) |a, b_m\rangle = 0$$

$$[a = b_m(b_m + \hbar)]$$

$$\hat{J}_- |a, b_m\rangle = 0 \leftarrow \text{Como no puede seguir bajando debe dar el ket nulo}$$

$$\hat{J}_+ \hat{J}_- |a, b_m\rangle = 0 \quad \hat{J}_+ \hat{J}_- = \hat{J}^2 - \hat{J}_z^2 + \hbar \hat{J}_z$$

$$(J_z^2 - J_z^2 + \hbar J_z) |a, b_m\rangle = 0$$

$$(a - b_m^2 + \hbar b_m) |a, b_m\rangle = 0$$

$$a = b_m (b_m - \hbar)$$

$$b_m (b_m + \hbar) = b_m (b_m - \hbar)$$

tiene solución

$$b_m - b_m = -\hbar \quad \text{si } b_m + b_m \neq 0$$

absurdo \Rightarrow

$$b_m = -b_m$$

Entonces $-b_m = b_m \Rightarrow -b_m \leq b \leq b_m$

Luego $|a, b_m\rangle \xrightarrow{J_+} |a, b_m\rangle$, y como J_+ sube de a un \hbar será:

$$b_m = b_m + \hbar \rightarrow b_m = \frac{n\hbar}{2} = \left(\frac{n}{2}\right)\hbar = j\hbar \Rightarrow \begin{array}{l} j \text{ es entero} \\ \text{y} \\ \text{se incrementa} \end{array}$$

definiremos:

$$b_m \equiv j\hbar \rightarrow$$

$$a \equiv j(j+1)\hbar^2$$

$$-j\hbar \leq b \leq j\hbar \downarrow \frac{b}{\hbar} \equiv m$$

$$m = (-j, -j+1, -j+2, \dots, j-1, j) \quad \begin{array}{l} 2j+1 \\ \text{valores de} \\ m \end{array}$$

$$J_z^2 |j, m\rangle = j(j+1)\hbar^2 |j, m\rangle$$

$$J_z |j, m\rangle = m\hbar |j, m\rangle$$

• La normalización de J_{\pm}

$$J_+ |j, m\rangle = C_+ |j, m+1\rangle$$

$$J_-^+ = J_+$$

$$= \langle \langle j, m | J_- J_+ | j, m \rangle = \langle j, m | J_+^+ J_+ | j, m \rangle = |C_+|^2$$

$$= \langle \langle j, m | J_z^2 - \hbar J_z | j, m \rangle = j(j+1)\hbar^2 - m^2\hbar^2 - \hbar^2 m = |C_+|^2$$

$$C_+ = \hbar \sqrt{j(j+1) - m(m+1)} = \hbar \sqrt{(j-m)(j+m+1)}$$

por convención se toman $C_{\pm} \in \mathbb{R}$

$$\langle \langle j, m | J_+ J_- | j, m \rangle = \langle \langle j, m | J_-^+ J_- | j, m \rangle = |C_-|^2$$

$$= j(j+1)\hbar^2 - m^2\hbar^2 + m\hbar^2 = |C_-|^2$$

$$C_- = \hbar \sqrt{j(j+1) - m(m-1)} = \hbar \sqrt{(j+m)(j-m+1)}$$

$$J_+ |j, m\rangle = \hbar \sqrt{(j-m)(j+m+1)} |j, m+1\rangle$$

$$J_- |j, m\rangle = \hbar \sqrt{(j+m)(j-m+1)} |j, m-1\rangle$$

■ Elementos de Matriz de J_z^2, J_z, J_{\pm}

Asumiendo normalización de $|j, m\rangle$

$$\langle j', m' | J_z^2 | j, m \rangle = j(j+1)\hbar^2 \delta_{jj'} \delta_{mm'}$$

$$\langle j', m' | j, m \rangle = m \hbar \delta_{j'j} \delta_{m'm}$$

$$\langle j', m' | j \pm 1, m \rangle = \sqrt{(j+m)(j+m+1)} \hbar \delta_{j'j} \delta_{m'm \pm 1}$$

• elementos de matriz de $\mathcal{D}(R)$

Ahora queremos ver cual es la forma de los elementos de matriz de $\mathcal{D}(R)$

$$\mathcal{D}(R) = e^{-i \frac{\vec{J} \cdot \vec{n}}{\hbar}}$$

$\leftarrow (\mathcal{D}(R)$ tiene por efecto rotar el sistema físico)

Lo primero a notar es que:

$$\langle j', m' | \mathcal{D}(R) | j, m \rangle \propto \delta_{j'j}$$

$$\text{Porque } [J^2, J_i] = 0 \rightarrow J_i \mathcal{D}(R) = \mathcal{D}(R) J_i \rightarrow [J^2, \mathcal{D}(R)] = 0$$

$$\downarrow \quad \begin{array}{l} \text{Luego} \\ \mathcal{D}(R) | j, m \rangle = \langle j, m' | e^{-i \frac{\vec{J} \cdot \vec{n}}{\hbar}} | j, m \rangle \end{array}$$

Es una matriz para cada j fijo con $(2j+1) \times (2j+1)$ = dimensión

$$\mathcal{D}(R) | j, m \rangle = \sum_{m'} \langle j, m' | e^{-i \frac{\vec{J} \cdot \vec{n}}{\hbar}} | j, m \rangle = \sum_{m'} \mathcal{D}_{m'm}^{(j)}(R) | j, m' \rangle$$

Las rotaciones no cambian el j

$$\mathcal{D}_{m'm}^{(j)} \in (2j+1) \times (2j+1)$$

$\mathcal{D}(R)$ conecta estados con la misma j

$$\mathcal{D}(R) | j, m \rangle = \sum_{m'} \mathcal{D}_{m'm}^{(j)}(R) | j, m' \rangle$$

La matriz de $\mathcal{D}(R)$ (no caracterizada por un único j) puede ponerse en forma diagonal por bloques:

$$\mathcal{D}(R) = \begin{pmatrix} j' & j'' & j''' \\ 0 & 0 & 0 \\ 0 & 0 & 0 \\ 0 & 0 & \ddots \end{pmatrix} \quad \begin{matrix} j' \\ j'' \\ j''' \end{matrix}$$

con cada bloque de $(2j+1) \times (2j+1)$. Cada bloque sin embargo es irreducible

Las matrices de rotación con j fijo forman un grupo.

$\mathcal{D}_{m'm}^{(j)}(R)$ son los elementillos de la matriz de rotación

$$| j, m \rangle \xrightarrow{\text{Rotación}} \mathcal{D}(R) | j, m \rangle = \sum_{m'} \mathcal{D}_{m'm}^{(j)}(R) | j, m' \rangle$$

amplitud de hallar el $| j, m \rangle$ rotado en $| j, m' \rangle$

• forma explícita del operador $\mathcal{D}(R)$

Los ángulos de Euler permitieron caracterizar la rotación más general. Entonces:

$$\mathcal{D}_{m'm}^{(j)} = \langle j, m' | e^{-i \frac{J_z \alpha}{\hbar}} \cdot e^{-i \frac{J_y \beta}{\hbar}} \cdot e^{-i \frac{J_z \gamma}{\hbar}} | j, m \rangle$$

$$\mathcal{D}_{m'm}^{(j)} = \underbrace{e^{-i(-m' \alpha + m \gamma)}}_{\text{una fase}} \cdot \underbrace{\langle j, m' | e^{-i \frac{J_y \beta}{\hbar}} | j, m \rangle}_{\equiv d_{m'm}^{(j)}(\beta)}$$

En los $d_{m'm}^{(j)}$ está la dificultad de la cuenta.

■ Formalismo de Spinores de Pauli

Apropiado para trabajar con sistemas de spin $\frac{1}{2}$. Estos sistemas son casos particulares de momento angular: $j = \frac{1}{2}$ $m = -\frac{1}{2}, +\frac{1}{2}$ \rightarrow Se definen los spinores χ^\pm como:

$$\begin{aligned} |\psi^+\rangle &\doteq \begin{pmatrix} 1 \\ 0 \end{pmatrix} \equiv \chi^+ \\ |\psi^-\rangle &\doteq \begin{pmatrix} 0 \\ 1 \end{pmatrix} \equiv \chi^- \end{aligned}$$

$$\begin{aligned} \chi^+ &\doteq \langle +| \\ \chi^- &\doteq \langle -| \end{aligned}$$

$$|\alpha\rangle \doteq \begin{pmatrix} \langle +|\alpha \rangle \\ \langle -|\alpha \rangle \end{pmatrix}$$

$$\langle \alpha | \doteq (\langle +|\alpha \rangle, \langle -|\alpha \rangle)$$

Para spin $\frac{1}{2}$ podemos tomar $\vec{J} = \vec{\sigma}$ por la analogía de las relaciones de commutación.

A su vez

$$\vec{S} = \frac{\hbar}{2} \vec{\sigma}$$

con

$$\vec{\sigma} = (\sigma_x, \sigma_y, \sigma_z)$$

(otra especie de vector)

Luego esta equivalencia provee expresión de los operadores. Si en términos de matrices de 2×2 . Así:

$$i[(\vec{J}_-) - (\vec{J}_+)] = \vec{J}_y \doteq S_y \doteq \frac{\hbar}{2} \sigma_y$$

↓ ↓
actúan actúa
sobre sobre
kets spinores

$$\vec{\sigma} = \left[\begin{pmatrix} 0 & 1 \\ 1 & 0 \end{pmatrix}, \begin{pmatrix} 0 & -i \\ i & 0 \end{pmatrix}, \begin{pmatrix} 1 & 0 \\ 0 & -1 \end{pmatrix} \right]$$

Matrices de Pauli

Propiedades básicas de las matrices de Pauli

$$\begin{aligned} \sigma_i^z &= \mathbb{1} & \sigma_i^n &= \begin{cases} \mathbb{1} & n \text{ par} \\ \sigma_i & n \text{ impar} \end{cases} \\ \sigma_i^+ &= \sigma_i^- \\ [\sigma_i, \sigma_j] &= i\epsilon_{ijk}\sigma_k \\ \{\sigma_i, \sigma_j\} &= \delta_{ij} \end{aligned}$$

$$|\psi^+\rangle = |\jmath = \frac{1}{2}, m = \frac{1}{2}\rangle$$

$$|\psi^-\rangle = |\jmath = \frac{1}{2}, m = -\frac{1}{2}\rangle$$

$$(\vec{\sigma} \cdot \vec{a})(\vec{\sigma} \cdot \vec{b}) = (\vec{a} \cdot \vec{b}) + i \vec{\sigma} \cdot (\vec{a} \times \vec{b})$$

• Aplicación a las Rotaciones (con $j = \frac{1}{2}$)

$$\mathcal{D}(A, \phi) = e^{-i \frac{\vec{A} \cdot \hat{n}}{\hbar} \phi} \doteq e^{-i \frac{\vec{\sigma} \cdot \hat{n}}{2} \phi} ; \text{ pero } (\vec{\sigma} \cdot \hat{n})^n = \begin{cases} \vec{\sigma} \cdot \hat{n} & n \text{ impar} \\ \mathbb{1} & n \text{ par} \end{cases} \Rightarrow$$

$$e^{-i \frac{\vec{\sigma} \cdot \hat{n}}{2} \phi} = 1 - i \frac{\vec{\sigma} \cdot \hat{n}}{2} - \frac{1}{2!} (\vec{\sigma} \cdot \hat{n})^2 \left(\frac{\phi}{2} \right)^2 + \frac{i}{3!} (\vec{\sigma} \cdot \hat{n})^3 \left(\frac{\phi}{2} \right)^3 - \dots$$

$$\mathcal{D}(\hat{n}, \phi) = e^{-i \frac{\vec{\sigma} \cdot \hat{n}}{2} \phi} = \mathbb{1} \cdot \cos \left(\frac{\phi}{2} \right) - i \vec{\sigma} \cdot \hat{n} \cdot \sin \left(\frac{\phi}{2} \right) ; \text{ con } \mathbb{1} \in 2 \times 2$$

▲ Operador de rotación para sistemas de spin $\frac{1}{2}$

Con esta expresión podemos evaluar $D_{m'm}^{j=\frac{1}{2}}(\beta) \rightarrow$

$$D_{m'm}^{j=\frac{1}{2}}(\beta) \doteq \begin{pmatrix} \cos \beta/2 & -\sin \beta/2 \\ \sin \beta/2 & \cos \beta/2 \end{pmatrix} \begin{array}{c} |\psi^+\rangle \\ |\psi^-\rangle \end{array}$$

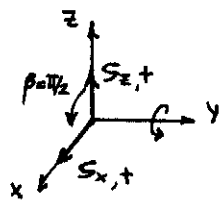
$$\cos(x) = \sum_{n=0}^{\infty} \frac{(x)^{2n+1}}{(2n+1)!} (-1)^n$$

$$\sin(x) = \sum_{n=0}^{\infty} \frac{(x)^{2n}}{(2n)!} (-1)^n$$

En el caso general el operador de rotación para sistemas de spin $\frac{1}{2}$ lucirá:

$$\mathcal{D}^{\beta=1/2}(\alpha, \rho, \gamma) = \begin{pmatrix} e^{-\frac{i}{2}(\alpha+\gamma)} \cdot \cos\left(\frac{\rho}{2}\right) & -e^{-\frac{i}{2}(\alpha-\gamma)} \cdot \sin\left(\frac{\rho}{2}\right) \\ e^{-\frac{i}{2}(\gamma-\alpha)} \cdot \sin\left(\frac{\rho}{2}\right) & e^{\frac{i}{2}(\alpha+\gamma)} \cdot \cos\left(\frac{\rho}{2}\right) \end{pmatrix}$$

Ejemplo



$$\mathcal{D}^{1/2}(\pi/2) = \begin{pmatrix} \sqrt{2}/2 & -\sqrt{2}/2 \\ \sqrt{2}/2 & \sqrt{2}/2 \end{pmatrix} \rightarrow \mathcal{D}^{1/2}(\pi/2) |r\rangle_+ = \frac{i\hbar}{2} \begin{pmatrix} 1 & 1 \\ 1 & 1 \end{pmatrix} \begin{pmatrix} 1 \\ 0 \end{pmatrix} = \frac{\sqrt{2}}{2} \begin{pmatrix} 1 \\ 1 \end{pmatrix} = \frac{\sqrt{2}}{2} (|1\rangle_+ + |1\rangle_-)$$

Este resultado es intuitivamente lógico $\rightarrow \mathcal{D}^{1/2}(\pi/2) |r\rangle_+ = |s_x\rangle_+ + |s_z\rangle_+$

Rotaciones en Sistemas con $\beta=1$

Ahora tenemos: $\beta=1 \quad m=-1, 0, 1$; recordando J_y en términos de escalares:

$$J_y = \frac{J_+ - J_-}{2i} \rightarrow J_y = \frac{i\hbar}{\sqrt{2}} \begin{pmatrix} 1 & 0 & 0 \\ 0 & -1 & 0 \\ 1 & 0 & -1 \\ 0 & 1 & 0 \end{pmatrix} \begin{matrix} |11\rangle \\ |10\rangle \\ |1-1\rangle \\ |11\rangle \\ |10\rangle \\ |1-1\rangle \end{matrix}$$

$$e^{-i \frac{J_y \beta}{\hbar}} = 1 + -i \frac{J_y \beta}{\hbar} + (-i)^2 \left(\frac{J_y \beta}{\hbar} \right)^2 \frac{1}{2!} + (-i)^3 \left(\frac{J_y \beta}{\hbar} \right)^3 \frac{1}{3!} + \dots$$

$$= 1 - i \frac{J_y \beta}{\hbar} - \frac{1}{2!} \left(\frac{J_y \beta}{\hbar} \right)^2 - \frac{i}{3!} \left(\frac{J_y \beta}{\hbar} \right)^3$$

$$\left(\frac{J_y}{\hbar} \right)^n = \begin{cases} \left(\frac{J_y}{\hbar} \right) & n \text{ impar} \\ \left(\frac{J_y}{\hbar} \right)^2 & n \text{ par} \end{cases}$$

$$e^{-i \frac{J_y \beta}{\hbar}} = 1 - \left(\frac{J_y}{\hbar} \right)^2 (1 - \cos \beta) - i \left(\frac{J_y}{\hbar} \right) \cdot \sin \beta = \hat{D}^{\beta=1}(\beta)$$

$$\hat{D}^{\beta=1}(\beta) = \begin{pmatrix} |11\rangle & |10\rangle & |1-1\rangle \\ \frac{\sqrt{2}}{2}(1+\cos \beta) & -\frac{i\sqrt{2}}{2} \sin \beta & \frac{i}{2}(1-\cos \beta) \\ \frac{i\sqrt{2}}{2} \sin \beta & \cos \beta & -\frac{i\sqrt{2}}{2} \sin \beta \\ \frac{1}{2}(1-\cos \beta) & \frac{i\sqrt{2}}{2} \sin \beta & \frac{1}{2}(1+\cos \beta) \end{pmatrix} \begin{matrix} |11\rangle \\ |10\rangle \\ |1-1\rangle \end{matrix}$$

acá lo veremos
Como operador
[es notación]
 $\hat{D}^{\beta=1}(\beta)$
m/m simboliza la matriz

■ Momento Angular Orbital

$$\vec{L} = \vec{x} \times \vec{p}$$

verifica el álgebra de \hat{J}

$$[L_i, L_j] = i\hbar \epsilon_{ijk} L_k \quad L_i = \epsilon_{ijk} x_j p_k$$

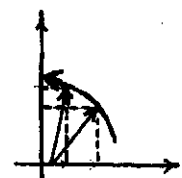
$$L_z = x P_y - y P_x$$

Consideremos una rotación en torno a \hat{z} , en un $\delta\phi$

$$\begin{aligned} \left(1 - i \frac{L_z \delta\phi}{\hbar}\right) |x', y', z'\rangle &= 1 - i \frac{x P_y \delta\phi}{\hbar} + i \frac{y P_x \delta\phi}{\hbar} |x', y', z'\rangle \\ &= 1 - i \frac{P_y (x \delta\phi)}{\hbar} + i \frac{P_x (y \delta\phi)}{\hbar} |x', y', z'\rangle \\ &= \left(1 - i \frac{\hbar}{\hbar} (-P_x \cdot y \delta\phi + P_y \cdot x \delta\phi)\right) |x', y', z'\rangle \end{aligned}$$

Esto es una
transformación en
 x, y

$$\left(1 - i \frac{L_z \delta\phi}{\hbar}\right) |x', y', z'\rangle = |x' - y' \delta\phi, y' + x' \delta\phi, z'\rangle$$



Esta transformación es debida a una rotación infinitesimal, en $\delta\phi$, torno a \hat{z} \Rightarrow

\hat{L}_z genera las rotaciones clásicas (en torno a \hat{z})

$$\Psi_\alpha(\vec{x}) = \langle x', y', z' | \alpha \rangle \xrightarrow{\text{ROTAMOS EN } \hat{z}} \langle x', y', z' | 1 - i \frac{L_z \delta\phi}{\hbar} | \alpha \rangle =$$

Cordenadas
esféricas

$$\xrightarrow{\text{ROTAMOS EN } \hat{z}} \langle x' + y' \delta\phi, y' - x' \delta\phi, z' | \alpha \rangle$$

$$\Psi_\alpha(\vec{r}) = \langle r, \theta, \varphi | \alpha \rangle \xrightarrow{\text{ROTAMOS EN } \hat{z}} \langle r, \theta, \varphi - \delta\phi | \alpha \rangle$$

Podemos hallar una expresión para L_z en esféricas:

$$\langle r, \theta, \varphi | 1 - i \frac{L_z \delta\phi}{\hbar} | \alpha \rangle \approx \langle \varphi | \alpha \rangle - \frac{2}{\delta\phi} \langle \varphi | \alpha \rangle \cdot \delta\phi \Rightarrow$$

Identificamos:

$$\langle \vec{r} | 1 - i \frac{L_z}{\hbar} | \alpha \rangle = - \frac{\partial}{\partial \phi} \langle \vec{r} | \alpha \rangle$$

$$L_z = -i\hbar \frac{\partial}{\partial \phi}$$

Operador L_z
en esféricas

$$\begin{aligned} \frac{\partial \langle \phi | \alpha \rangle}{\partial \phi} &\approx \frac{\langle \phi + \delta\phi | \alpha \rangle - \langle \phi | \alpha \rangle}{\delta\phi} \\ &\approx \frac{\langle \phi | \alpha \rangle - \langle \phi - \delta\phi | \alpha \rangle}{\delta\phi} \end{aligned}$$

$$\langle \phi - \delta\phi | \alpha \rangle \approx \langle \phi | \alpha \rangle - 2 \frac{\langle \phi | \alpha \rangle}{\delta\phi}$$

Usando

$$L^2 = L_z^2 + \frac{1}{2} (L_+ L_- + L_- L_+) \quad \text{se llega a:}$$

$$\langle r, \theta, \varphi | L^2 | \alpha \rangle = -\hbar^2 \left[\frac{1}{\sin^2 \theta} \frac{\partial^2}{\partial \varphi^2} + \frac{1}{\sin \theta} \frac{\partial}{\partial \theta} \left[\sin \theta \frac{\partial}{\partial \theta} \right] \right] \langle r, \theta, \varphi | \alpha \rangle$$

$$L^2 = -\hbar^2 r^2 \nabla_{\theta, \varphi}^2$$

, donde $\nabla_{\theta, \varphi}^2$ es la parte angular del Laplaciano en coordenadas esféricas.

Esto puede obtenerse también partiendo de:

$$L^2 = \vec{x}^2 \vec{p}^2 - (\vec{x} \cdot \vec{p})^2 + i\hbar \vec{x} \cdot \vec{p}$$

Sea un H de particula, sin spin, sujeta a potencial simétricamente esférico. Sabemos que la función de onda $\Psi_\alpha(\vec{r})$ es separable en coordenadas esféricas, entonces:

$$\langle \vec{r} | n, l, m \rangle = R_{nl}(r) \cdot Y_l^m(\theta, \varphi)$$

La dependencia angular es común para todo problema de simetría esférica

$$\langle \vec{r} | n, l, m \rangle = (\langle r | \otimes \langle \theta, \varphi |) (n, l, m) = \langle r | n, l, m \rangle \langle \theta, \varphi | l, m \rangle$$

Cuando el H es esféricamente simétrico (como en potencial central) se tiene

$$[H, L_z] = [H, L^2] = 0$$

Trabajaremos solamente en la parte angular $|\theta, \varphi\rangle \equiv |\hat{n}\rangle$

$$\langle \hat{n} | l, m \rangle = Y_l^m(\theta, \varphi) = Y_l^m(\hat{n})$$

Amplitud de hallar $|l, m\rangle$ en la dirección \hat{n}

Podemos vincular ahora los armónicos esféricos con los autoestados de L_z, L^2

$$L_z |l, m\rangle = m\hbar |l, m\rangle \implies \langle \hat{n} | L_z |l, m \rangle = m\hbar \langle \hat{n} | l, m \rangle = -i\hbar \frac{\partial}{\partial \theta} \langle \hat{n} | l, m \rangle$$

$$L^2 |l, m\rangle = l(l+1)\hbar^2 |l, m\rangle$$

$$\langle \hat{n} | L^2 |l, m \rangle = l(l+1)\hbar^2 \langle \hat{n} | l, m \rangle =$$

$$-i\hbar^2 r^2 \nabla_{\theta, \varphi}^2 \langle \hat{n} | l, m \rangle = l(l+1)\hbar^2 \langle \hat{n} | l, m \rangle$$

$$(-i\hbar^2 r^2 \nabla_{\theta, \varphi}^2 + l(l+1)\hbar^2) \langle \hat{n} | l, m \rangle = 0$$

Con la $\begin{cases} \text{ortogonalidad} \\ \text{completitud} \end{cases} \rightarrow \langle l', m' | l, m \rangle = \delta_{ll'} \delta_{mm'}$ llegamos a:

$$\int d\Omega \langle l', m' | \hat{n} \rangle \langle \hat{n} | l, m \rangle = \delta_{ll'} \delta_{mm'}$$

$$\int d\Omega Y_{l'}^{m'}(\theta, \varphi) \cdot Y_l^m(\theta, \varphi) = \delta_{ll'} \delta_{mm'}$$

Podemos hallar una expresión para:

$$\langle \hat{n} | L_+ | l, l \rangle = 0$$

$$-i\hbar e^{i\varphi} \left(i \frac{\partial}{\partial \theta} - \cot \theta \frac{\partial}{\partial \varphi} \right) \langle \hat{n} | l, l \rangle = 0 \rightarrow Y_l^l(\theta, \varphi) = C_l e^{il\varphi} \sin^l \theta$$

Luego usamos L_- para hallar sucesivamente los demás Y_l^m

$$\frac{\langle \hat{n} | L_- | l, m \rangle}{\sqrt{(l+m)(l-m+1)}} = \langle \hat{n} | l, m-1 \rangle$$

Por este camino se llega a:

$$Y_l^m(\theta, \varphi) = \frac{(-1)^l}{2^l l!} \sqrt{\frac{(2l+1)(l+m)!}{4\pi (l-m)!}} e^{im\varphi} \frac{1}{\sin^m \theta} \cdot \frac{d^{l-m}}{d(\cos^{l-m} \theta)} (\sin \theta)^{2l}$$

con:

$$Y_l^{-m}(\theta, \varphi) = (-1)^m (Y_l^m(\theta, \varphi))^*$$

$$Y_l^0(\theta, \varphi) = \sqrt{\frac{2l+1}{4\pi}} P_l(\cos \theta)$$

En el caso de momento angular orbital "l" no puede ser semientero porque entonces "m" sería semientero y en una vuelta de 2π

$$e^{im2\pi} = -1 \Rightarrow \psi \text{ no sería univaluada}$$

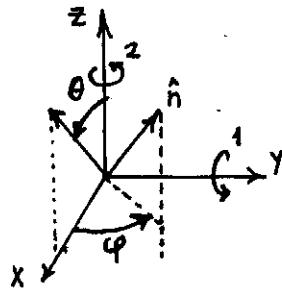
Además

$$\langle \vec{x}' | e^{-i\frac{L_z 2\pi}{\hbar}} | \alpha \rangle = \langle \vec{x}' | \alpha \rangle \quad (\text{no hay signo menos})$$

■ Armónicos Esféricos como Matrices de Rotación

Se pueden hallar autoestados dirección $| \hat{n} \rangle$ rotando el $| \hat{z} \rangle$

$$| \hat{n} \rangle = \mathcal{D}(R) | \hat{z} \rangle$$



$$\text{Necesitamos aplicar } \mathcal{D}(R) = \mathcal{D}(\alpha = \varphi, \beta = \theta, \gamma = 0)$$

$$| \hat{n} \rangle = \sum_{l,m} \mathcal{D}(R) | l,m \rangle \langle l,m | \hat{z} \rangle$$

$$\langle l,m' | \hat{n} \rangle = \sum_{l,m} \underbrace{\langle l,m' | \mathcal{D}(R) | l,m \rangle}_{\text{La } \mathcal{D}(R) \text{ no conecta } l \text{ diferentes}} \langle l,m | \hat{z} \rangle$$

$$\langle l,m' | \hat{n} \rangle = \sum_m \mathcal{D}_{m'm}^l(R) \langle l,m | \hat{z} \rangle$$

$$Y_l^{m'}(\theta, \varphi)^* = \sum_m \mathcal{D}_{m'm}^l(R) \underbrace{Y_l^m(\theta=0, \varphi \text{ indeterminado})^*}_{\text{Y_l^m(theta=0, phi indeterminado)}}$$

Pero como con $\theta=0$ $Y_l^m=0$ ($m \neq 0$) se tiene:

$$\langle l,m | \hat{z} \rangle = Y_l^m(\theta=0, \varphi \text{ indeterminado})^* \cdot \delta_{m0}$$

$$\langle l,m | \hat{z} \rangle = \sqrt{\frac{2l+1}{4\pi}} \cdot \delta_{m0}$$

$$Y_l^{m'}(\theta, \varphi)^* = \sqrt{\frac{2l+1}{4\pi}} \mathcal{D}_{m'0}^l(\alpha = \varphi, \beta = \theta, \gamma = 0)$$

◀ La matriz de rotación en este caso es un armónico esférico

La Ψ tiene la misma simetría que el potencial